

# PANMEP

## PROGRAMA ANDALUZ DE FORMACIÓN EN MEDICINA PERSONALIZADA Y DE PRECISIÓN

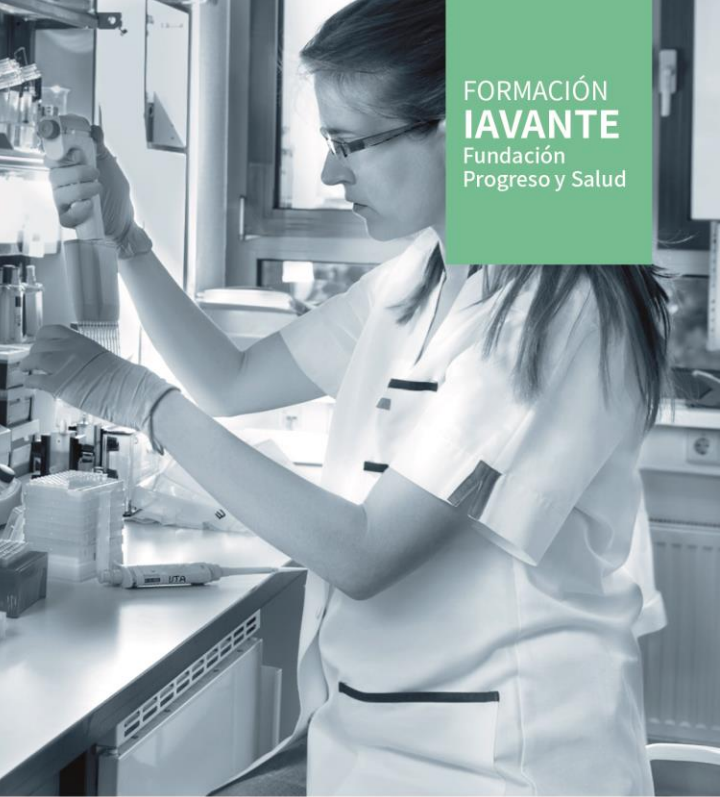
EXPERTO UNIVERSITARIO EN MEDICINA PERSONALIZADA Y DE PRECISIÓN

# DIAGNÓSTICO MOLECULAR

ORGANIZAN:

- Consejería de Salud y Consumo, Fundación Progreso y Salud - IAVANTE
- Universidad Internacional de Andalucía

FORMACIÓN  
IAVANTE  
Fundación  
Progreso y Salud



COLABORA

**Johnson&Johnson**

ORGANIZAN

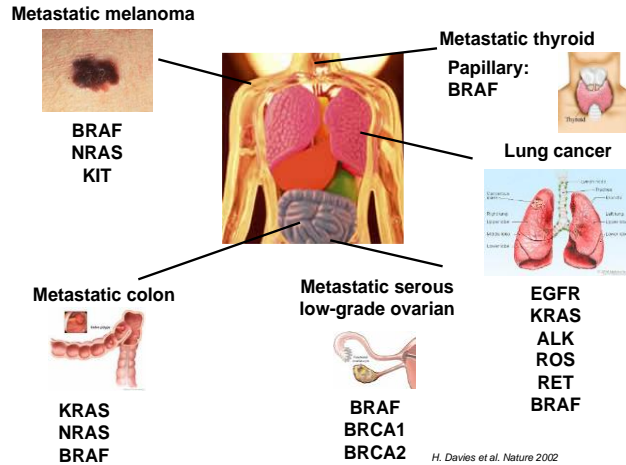
**i un**  
Universidad  
Internacional  
de Andalucía  
**A**

**Junta de Andalucía**  
Consejería de Salud y Consumo

# CASOS CLINICOS

Beatriz Bellosillo, Hospital del Mar

# Estudio de biomarcadores en oncología de precisión



# Estudio de biomarcadores en oncología de precisión

**Detection Capability**  
(mutant DNA/ total DNA)

100%

2-5%

NGS

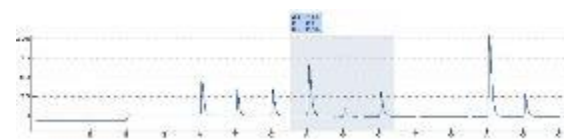
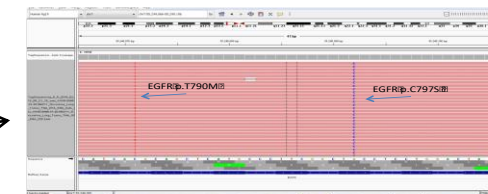
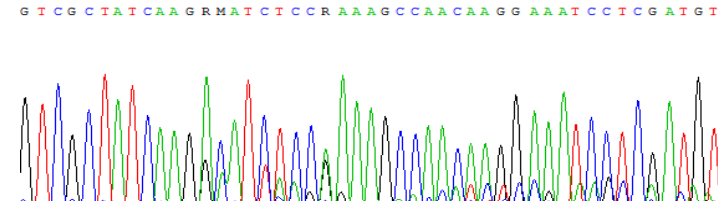
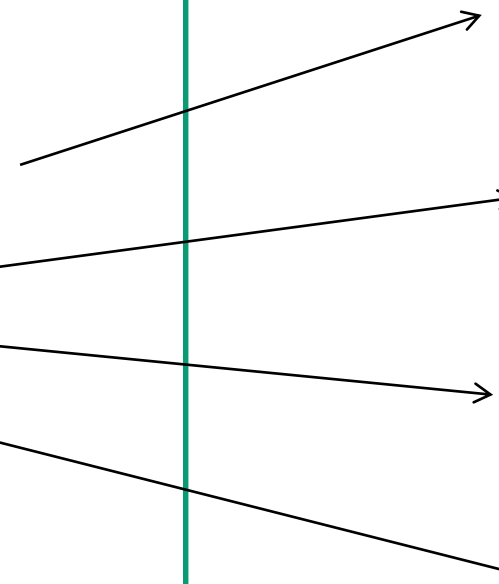
Pyrosequencing

Real-Time PCR

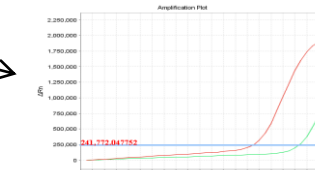
1%

1-0.1%

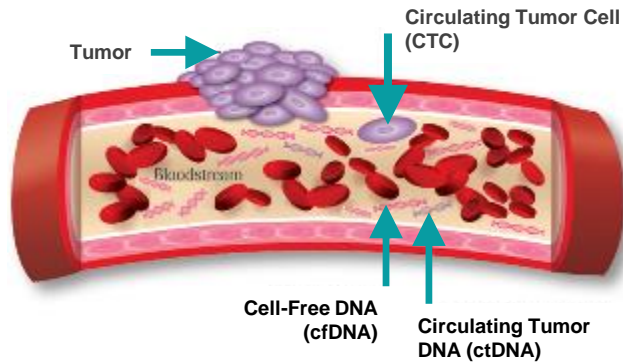
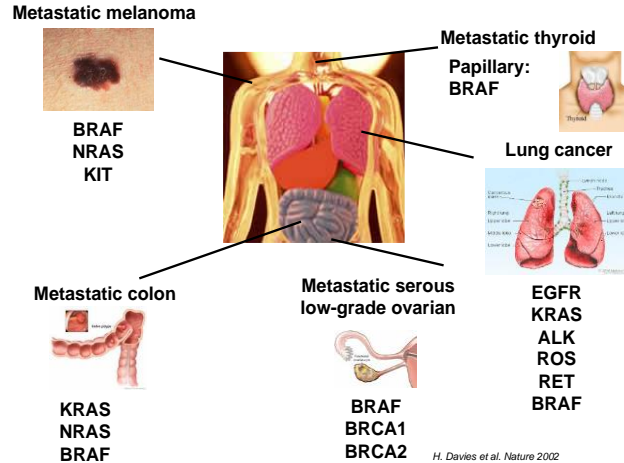
Sanger Sequencing



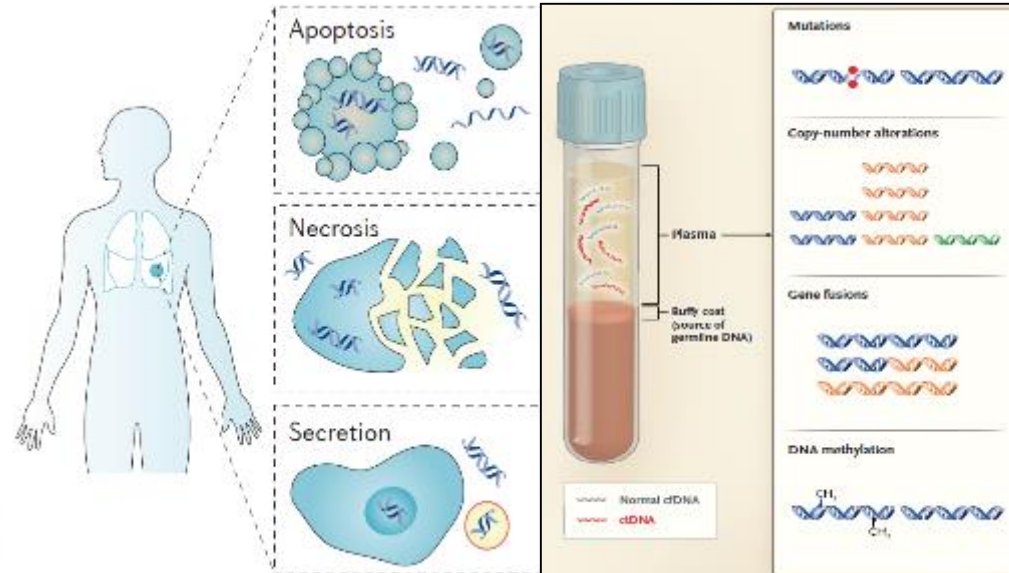
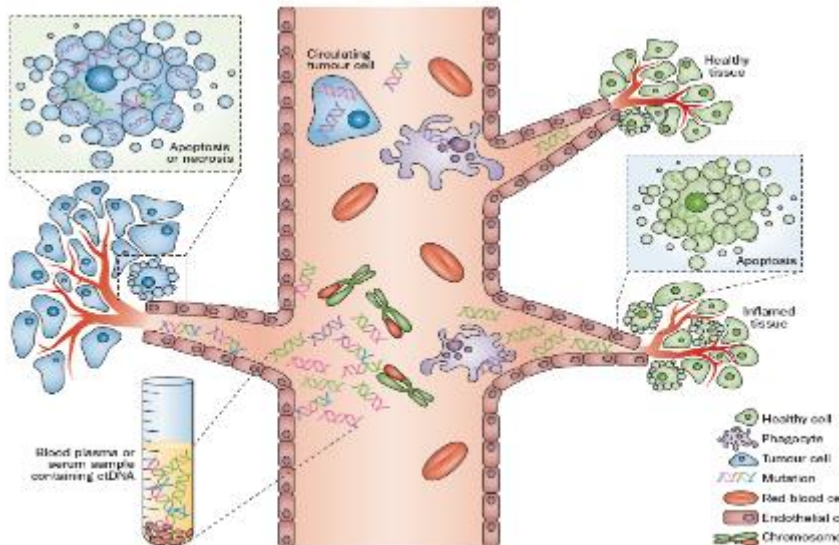
KRAS p.A146T



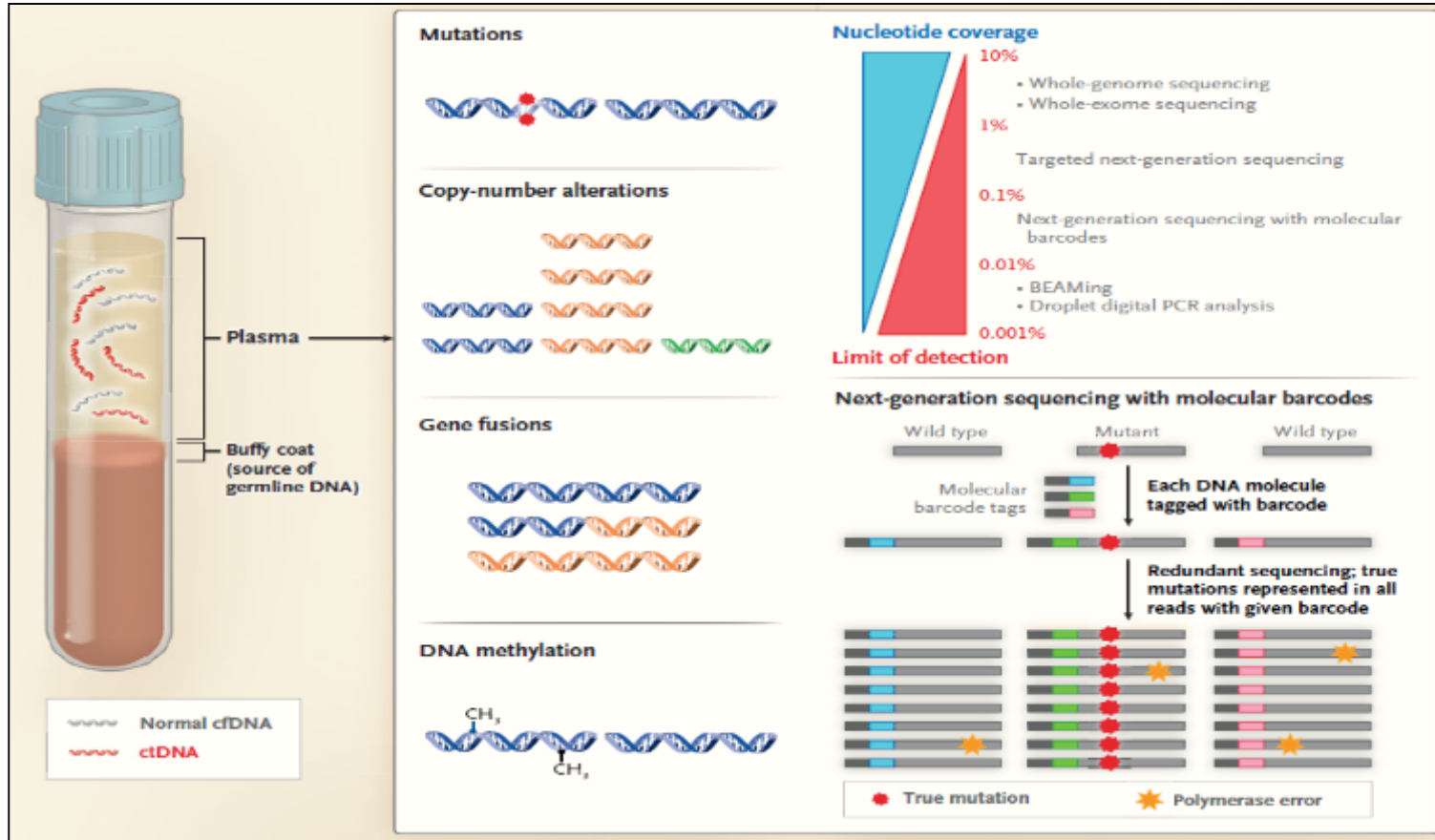
# Estudio de biomarcadores en oncología de precisión



# Estudio de biomarcadores en oncología de precisión- biopsia líquida



# Estudio de biomarcadores en oncología de precisión- biopsia líquida



# Estudio de biomarcadores en oncología de precisión

**Detection Capability**  
(mutant DNA/ total DNA)

100%

10%

2-5%

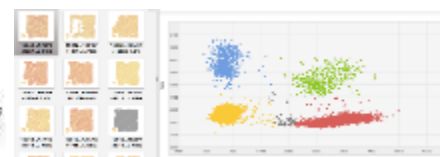
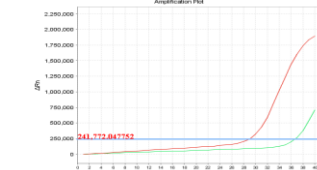
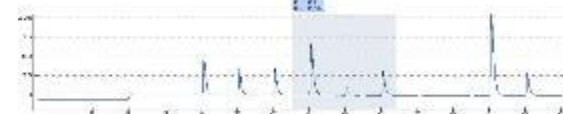
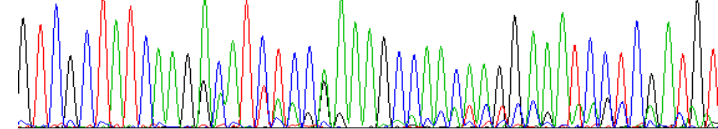
1%

1-0.1%

0.5-0.1%

0.01%  
**BEAMing/PCR digital****Sanger Sequencing****NGS****Pyrosequencing****Real-Time PCR****UMI- NGS**

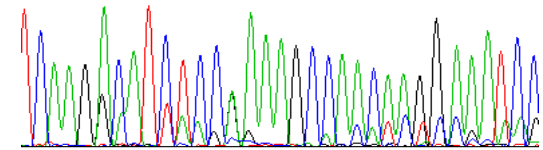
G T C G C T A T C A A G R M A T C T C C R A A G C C A A C A A G G A A T C C T C G A T G T



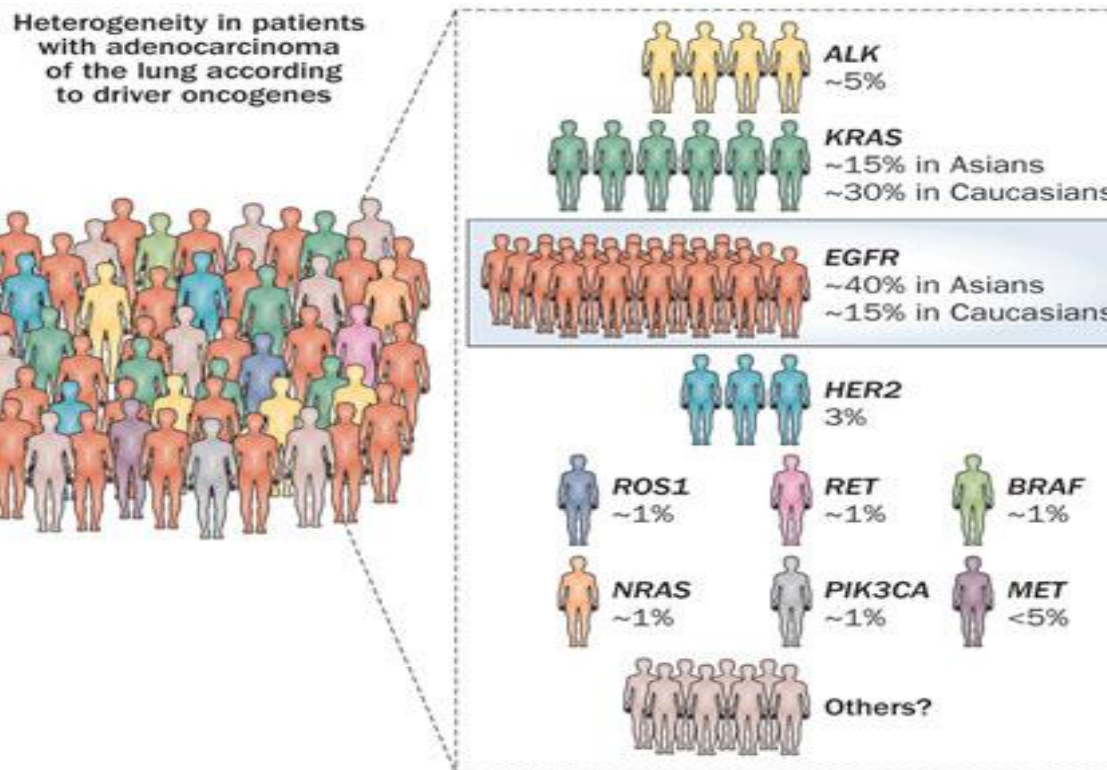
## Caso 1

- Mujer de 62 años
- Septiembre 2015 – diagnóstico de adenocarcinoma de pulmón T2aN3M1b (M1 -CNS)
- *EGFR* mutado (deleción en el exón 19)

T C A A G R M A T Y T C C R A A A G C C A A C A A G G A A A T C C



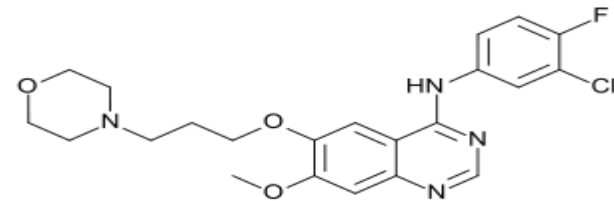
# Alteraciones moleculares en pacientes con adenocarcinoma de pulmón



# EGFR inhibitors

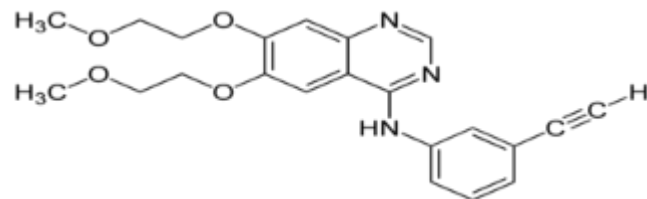
## GEFITINIB

Reversible EGFR inhibitor



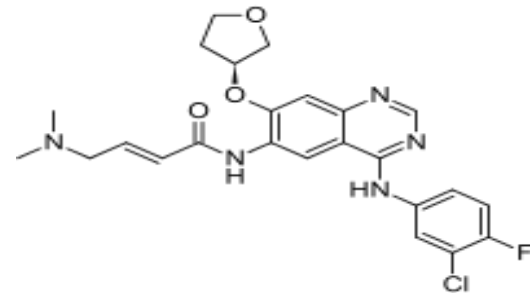
## ERLOTINIB

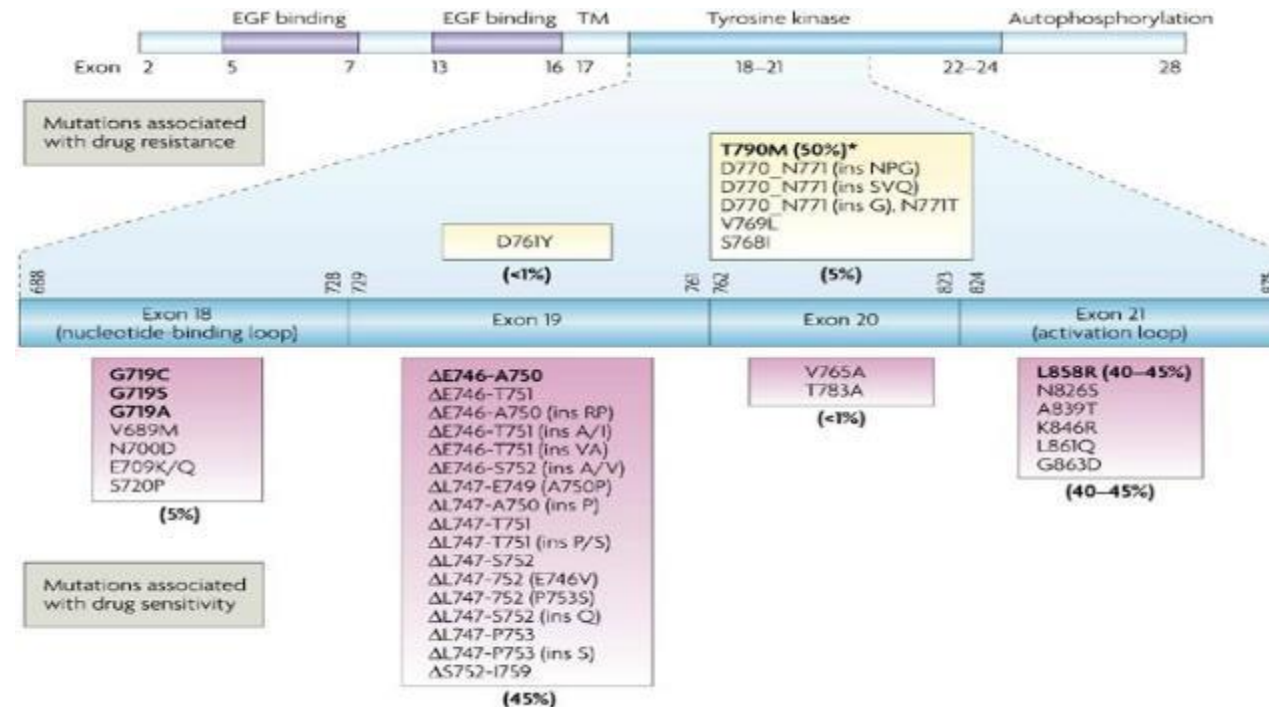
Reversible EGFR inhibitor



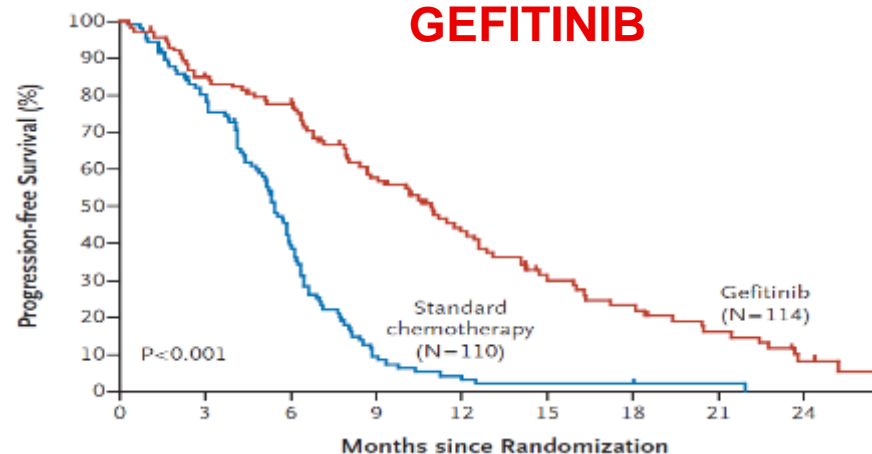
## AFATINIB

Irreversible EGFR, HER2, ErbB4 inhibitor

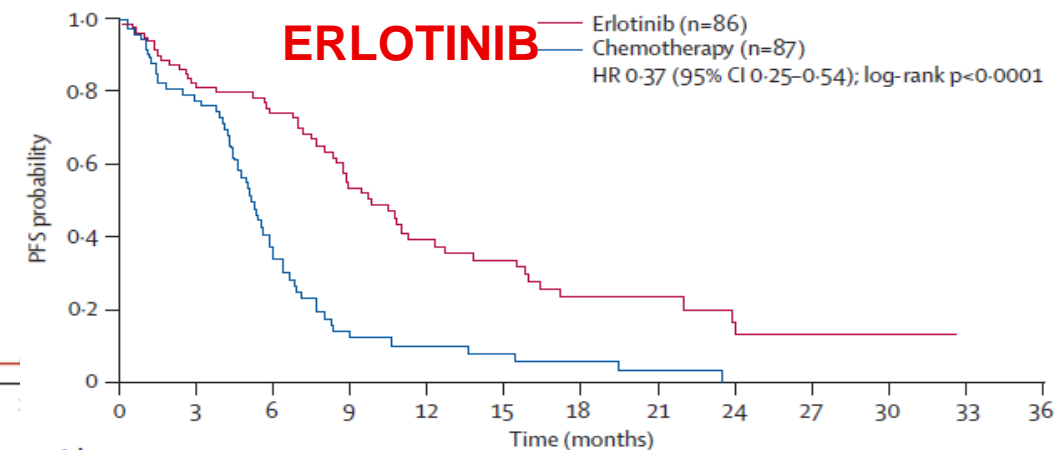




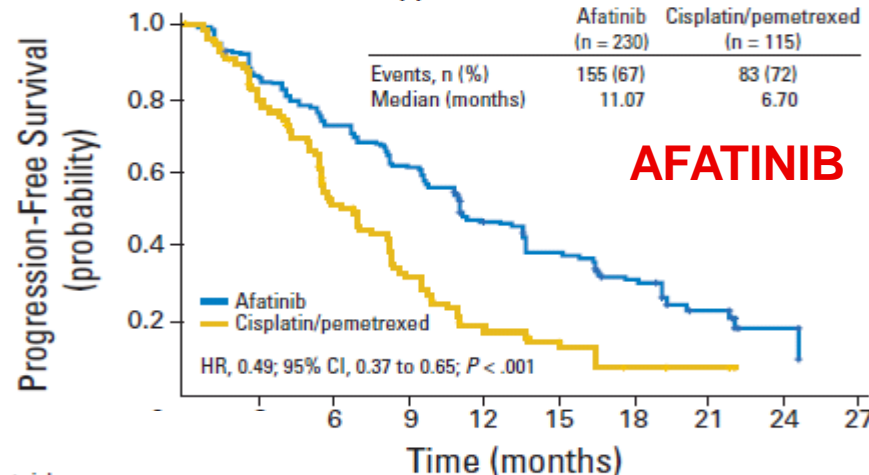
## GEFITINIB



## ERLOTINIB



## AFATINIB



Maemondo. NEJM2010

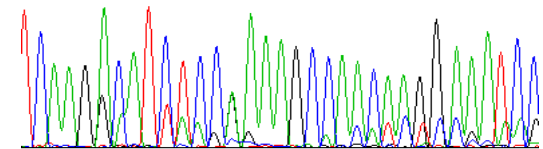
Rosell. Lancet 2012

Sequist. JCO 2013

## Caso 1

- Mujer de 62 años
- Septiembre 2015 – diagnóstico de adenocarcinoma de pulmón T2aN3M1b (M1 -CNS)
- *EGFR* mutado (deleción en el exón 19)
- Tratamiento con TKI –Afatinib
- Nov 2015- Cambio a gefitinib por toxicidad
- Respuesta parcial - torácica y SNC (50%)
- Febrero 2017 – progresión lenta

T C A A G R M A T Y T C C R A A A G C C A A C A A G G A A A T C C



# AVENIO ctDNA Targeted Kit

## *Includes genes in NC*



### AVENIO ctDNA Analysis Software

Variant Report

SNVs		Indels*
ALK	<b>KRAS</b>	ALK
APC	<b>MET</b>	APC
BRAF	NRAS	BRAF
<b>BRCA1</b>	PDGFRA	<b>EGFR</b>
<b>BRCA2</b>	RET	<b>ERBB2</b>
DPYD	ROS1	KIT
<b>EGFR</b>	<b>TP53</b>	<b>MET</b>
<b>ERBB2</b>	UGT1A1 <sup>††</sup>	
KIT		

SAMPLE ID	ANALYSIS START DATE
DS2993	Feb 22, 2018 15:27:06 UTC
ANALYSIS WORKFLOW	PANEL
DefaultTargetedPanelWorkflow	Targeted
ADAPTER	FILTERSET
SA 4	DefaultFilterSet*
ISOLATED DNA MASS	SAMPLE VOLUME
40.05 ng	4.20 mL

#### Results Summary

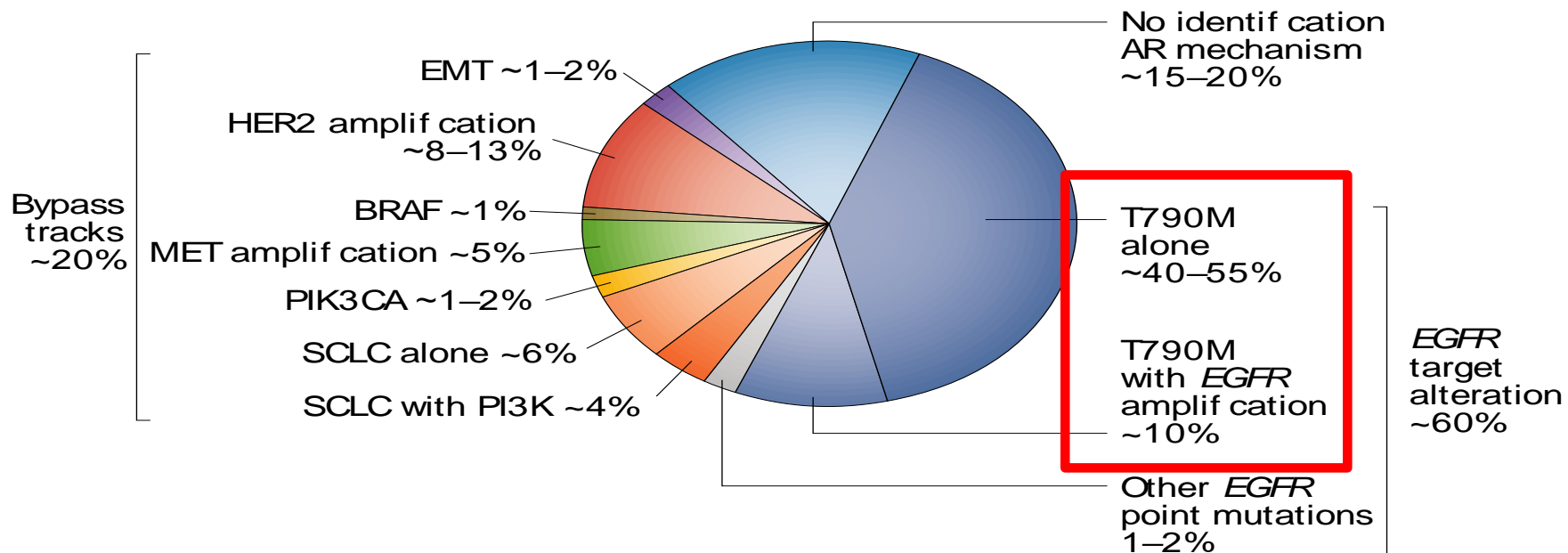
SNVs (2)				
Gene	Variant	Variant Description	Allele	No. of Mutant
TP53	p.Arg273Cys p.Arg262Cys	Missense variant Missense variant	0.82%	25.7
EGFR	p.Thr790Met	Missense variant	0.55%	17.4
INDELS (1)				
Gene	Variant	Variant Description	Fraction	Molecules per mL
EGFR	p.Glu748_Ala750del	Disruptive inframe deletion	1.00%	31.5
CNV AMPLIFICATIONS (1)				
Gene				
MET				
FUSIONS (0)				

#### Run Details

RUN NAME	NUMBER OF SAMPLES
20180220_AVENIO_RUN2	13
RUN ID	FLOWCELL ID
A0j158eUML1LQGYHE_GfZVx0h	AHL3VFBGx5
SEQUENCER NAME	SEQUENCER STARTED
NS500644	Feb 19, 2018
OPERATOR	REPORT GENERATION DATE
Admin	Feb 23, 2018 01:35:42 UTC
SEQUENCER FILE DATA PATH	
mount:ress-oss/tuna/20180220_AVENIO_RUN2/180220_NS500644_0112_AHL3VFBGx5	

Confirmation by digital PCR  
for T790M

# Mechanisms of secondary resistance

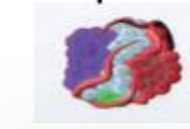




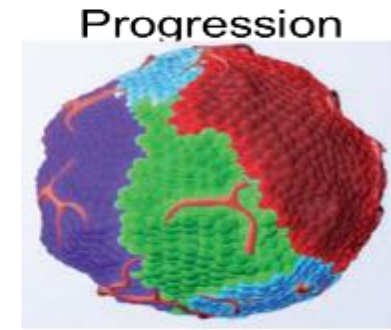
Sensitive  
Clone



Response



Resistant  
Clones



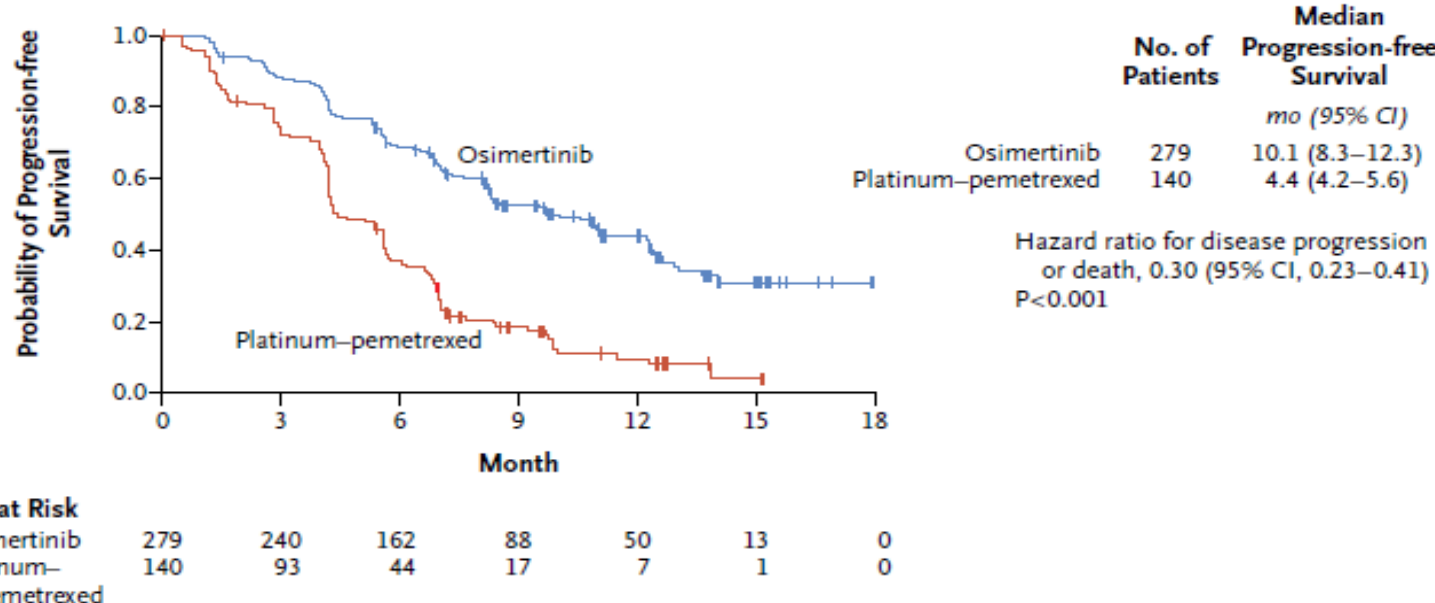
Progression

December 6, 2016

# Osimertinib or Platinum–Pemetrexed in EGFR T790M–Positive Lung Cancer

T.S. Mok, Y.-L. Wu, M.-J. Ahn, M.C. Garassino, H.R. Kim, S.S. Ramalingam, F.A. Shepherd, Y. He, H. Akamatsu, W.S.M.E. Theelen, C.K. Lee, M. Sebastian, A. Templeton, H. Mann, M. Marotti, S. Ghiorghiu, and V.A. Papadimitrakopoulou, for the AURA3 Investigators\*

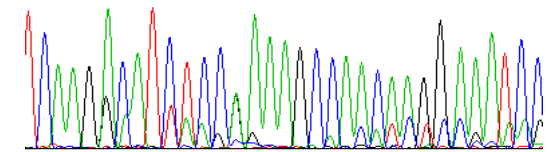
## Patients in Intention-to-Treat Population



## Caso 1

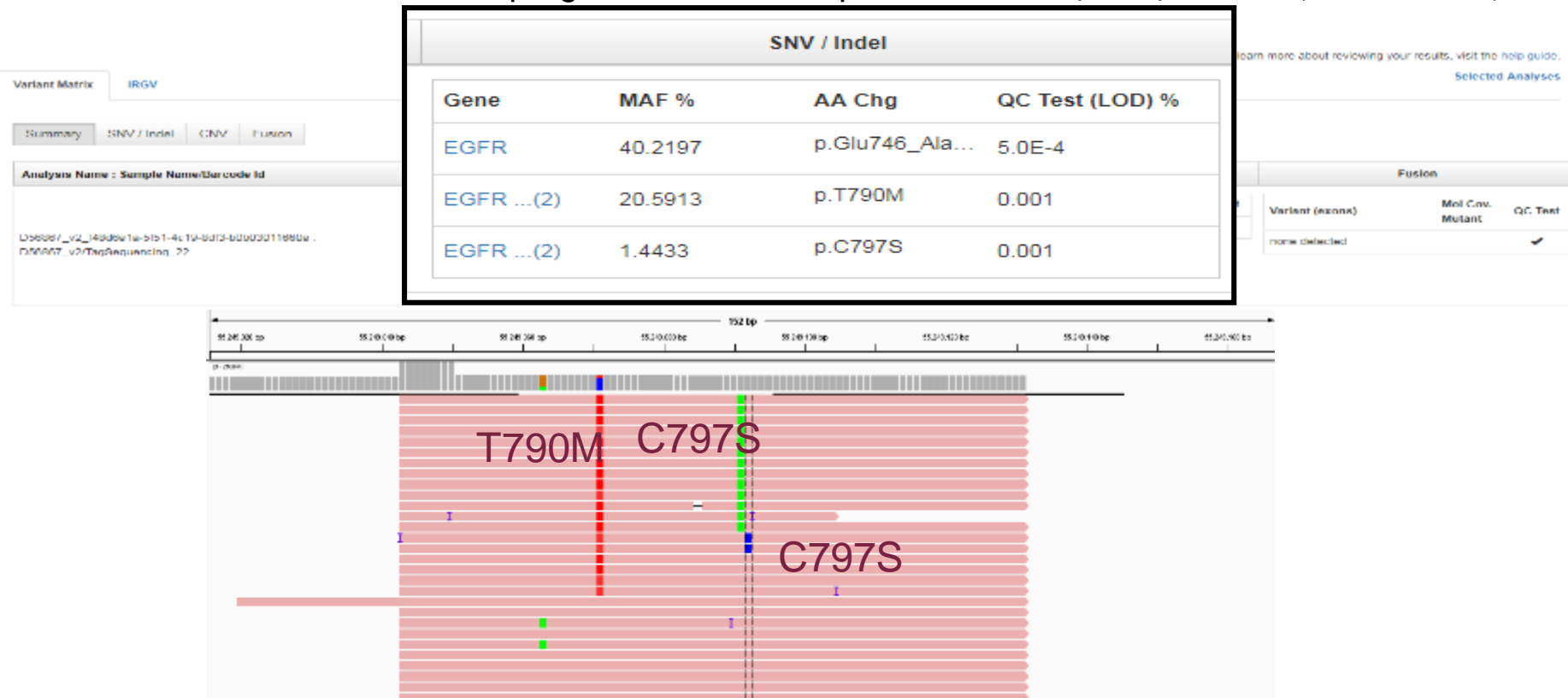
- Mujer de 62 años
- Septiembre 2015 – diagnóstico de adenocarcinoma de pulmón T2aN3M1b (M1 -CNS)
- EGFR mutado (deleción en el exón 19)
- Tratamiento con TKI –Afatinib
- Nov 2015- Cambio a gefitinib por toxicidad
- Respuesta parcial - torácica y SNC (50%)
- Febrero 2017 – progresión lenta
  - Liquid biopsy : EGFR del 19 + p.T790M
- Abril 2017 – Progresión ósea
- Junio 2017 – cambio a Osimertinib

T C A A G R M A T Y T C C R A A A G C C A A C A A G G A A A T C C



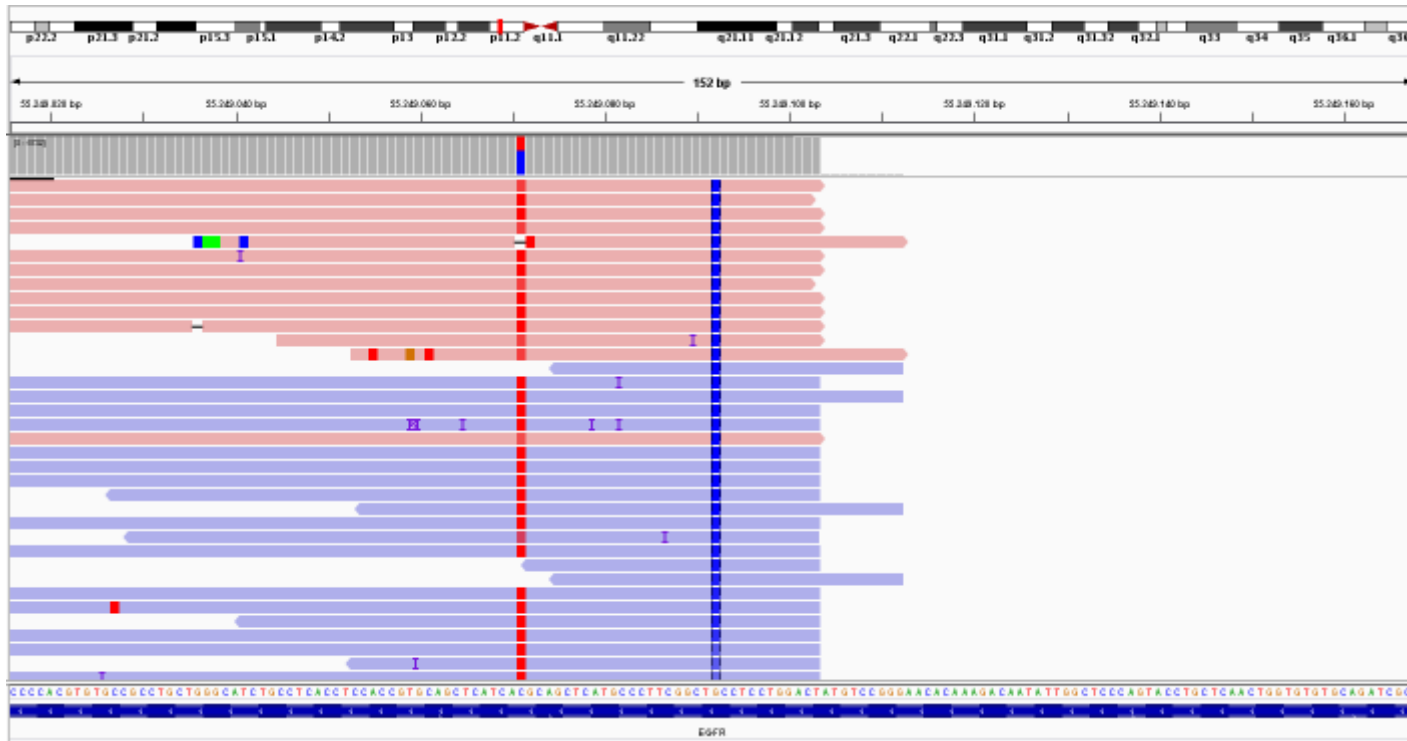
## Caso 1

- Junio 2017 – cambio a Osimertinib
  - Noviembre 2018 – progresión – nódulos pulmonares: Biopsia líquida: NGS (Oncomine TNA)

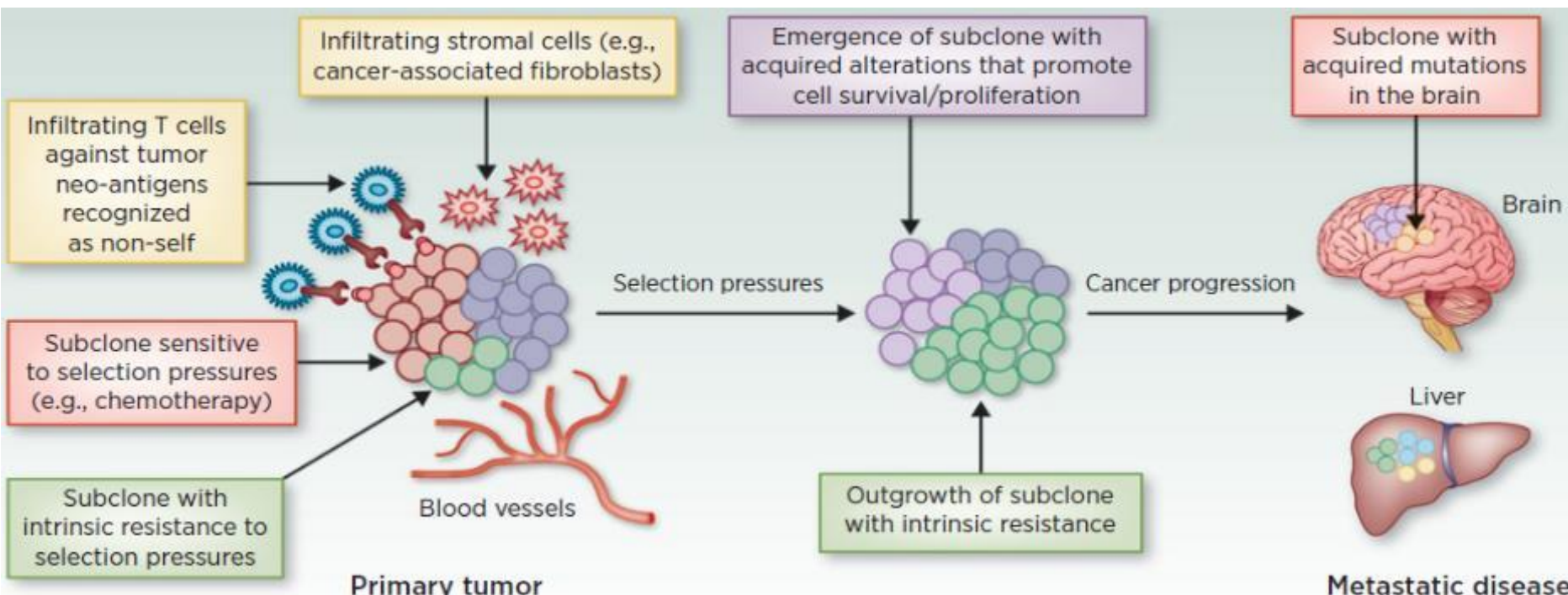


## Estudio paralelo en la biopsia pulmonar por NGS

## Caso 1



BX : OST EGFR p.Thr790Met 39,7% // p.Cys797Ser c.2390G>C 16,7%



## Caso 2

Mujer de 59 años

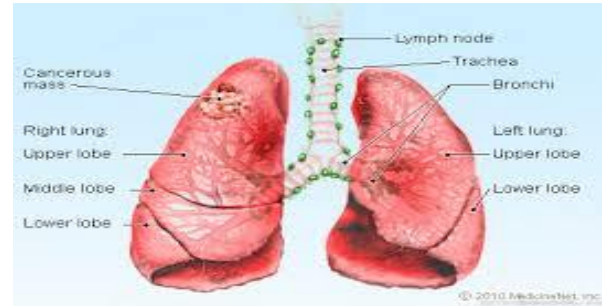
Septiembre 2016 - diagnóstico de adenocarcinoma de pulmón estadio IV (M1 –hueso+hígado)

EGFR mutado (deleción en el exón 19- (p.E746\_A750del))

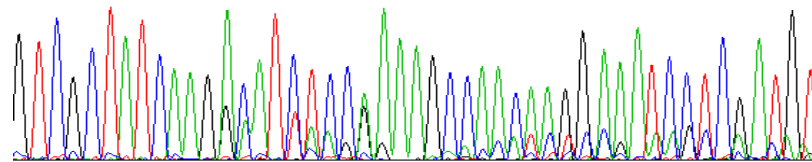
Tratamiento con TKI –gefitinib

Respuesta parcial

## Lung cancer



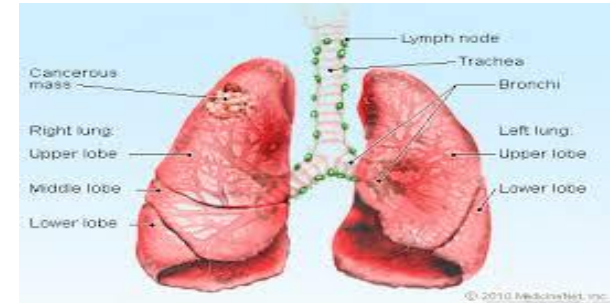
G T C G C T A T C A A G R M A T C T C C R A A A G C C A A C A A G G A A A T C C T C G A T G T



## Caso 2

- Septiembre 2017 –progresión pulmonar
  - Biopsia líquida: EGFR del 19
  - Rebiopsia : EGFR del 19 + p.T790M
- Octubre 2017 – cambio a Osimertinib
- Respuesta casi completa
- Octubre 2018: progresión pulmonar
  - Biopsia líquida: NGS (Oncomine TNA)

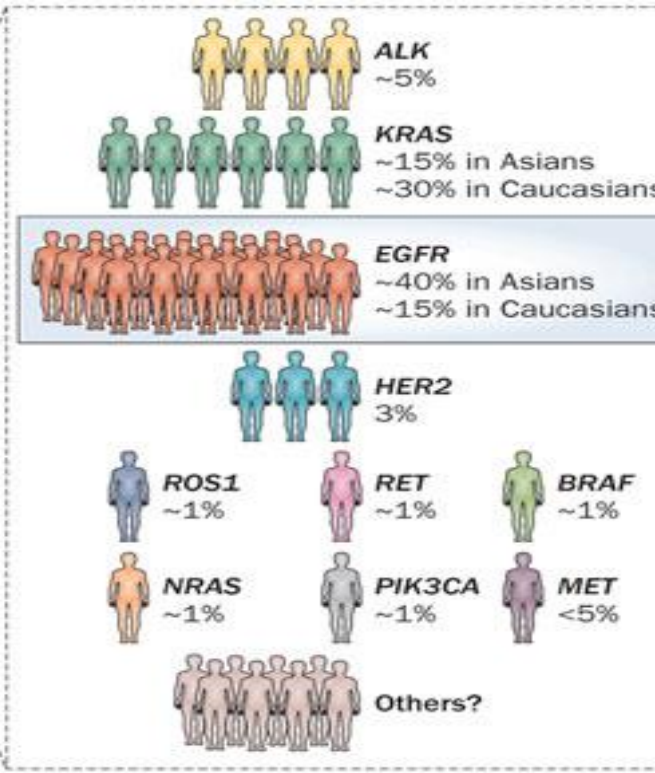
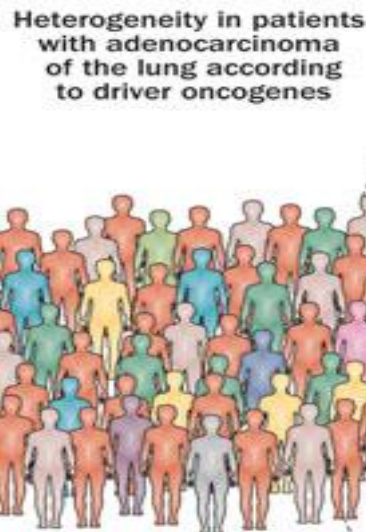
### Lung cancer



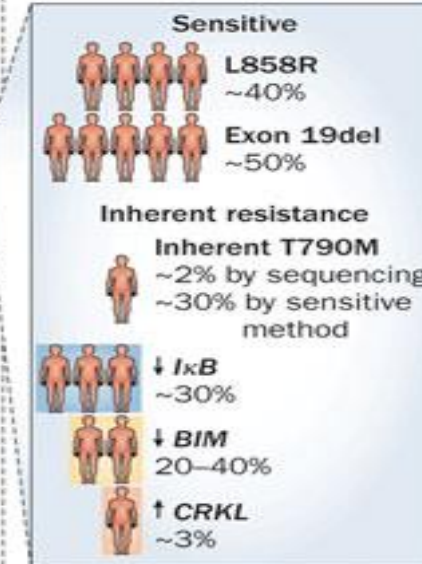
SNV / Indel				CNV				Fusion		
Gene	MAF %	AA Chg	QC Test (LOD) %	Gene	Gain / Loss	CNV Ratio	QC Test	Variant (exons)	Mol Cov. Mutant	QC Test
EGFR	18.9306	p.Glu746_Ala...	5.0E-4	MET	↑	2.67	✓	not determined		✗

- ctDNA: C797S negativo. del19 + (20%), pérdida T790M. Amplificación MET

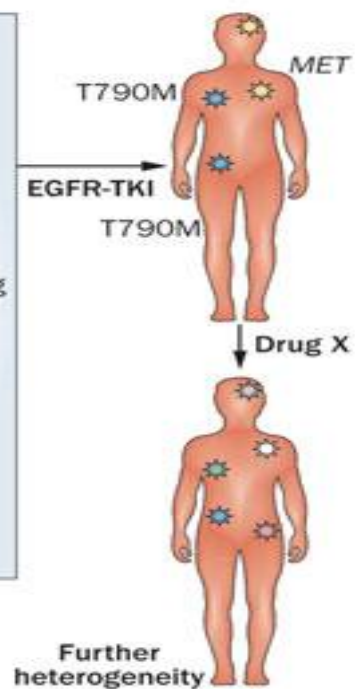


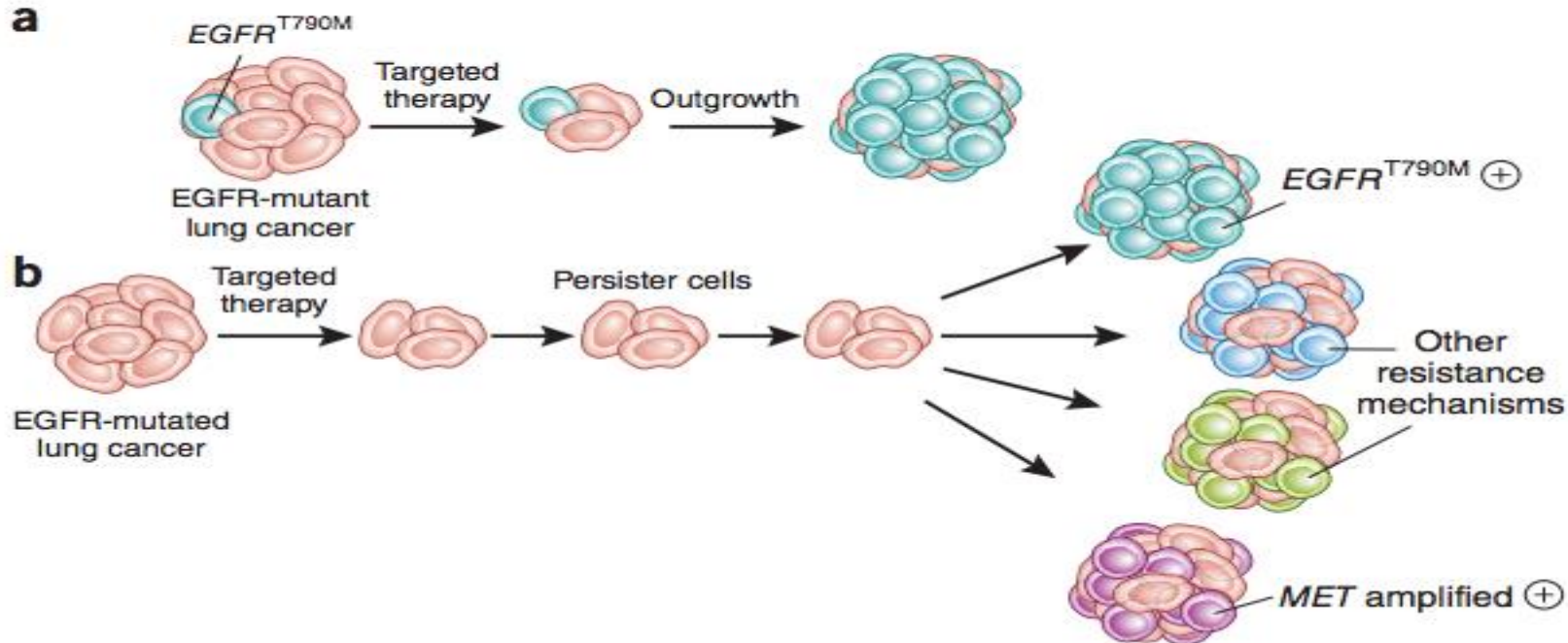


**b Heterogeneity within patients with EGFR mutation**



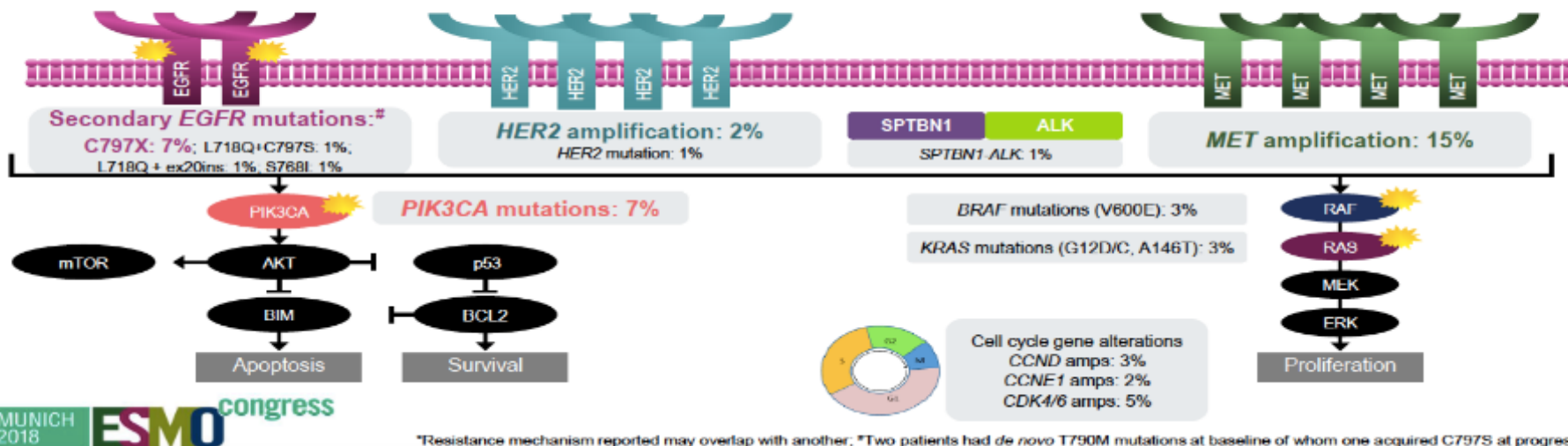
**c Heterogeneity in resistance mechanism in one patient**





# Mecanismos de resistencia a osimertinib

- No evidence of acquired EGFR T790M
- The most common resistance mechanisms were ***MET*** amplification and EGFR C797S mutation
  - Other mechanisms included ***HER2*** amplification, ***PIK3CA*** and ***RAS*** mutations

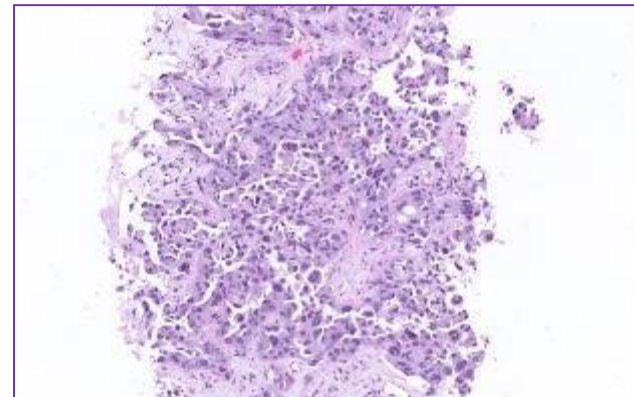


### Caso 3

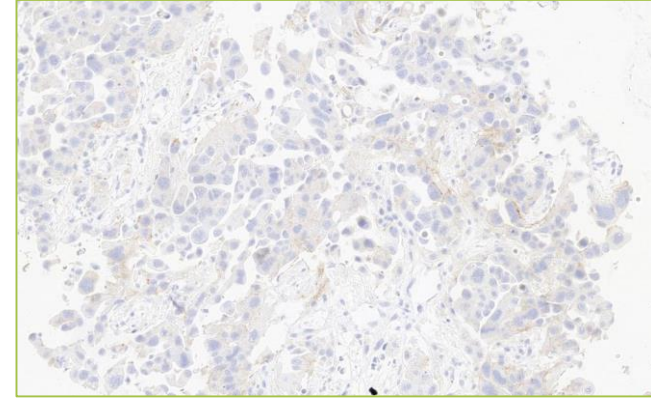
- Hombre 59 años
- Enero 2018 : UCI - disnea
- TAC: lesión 7cm lobulo pulmonar superior derecho - se realiza biopsia
- Biopsia líquida



## Caso 3



PD-L1  
FISH ALK  
FISH ROS1  
FISH MET  
EGFR  
ONCOMINE



PD-L1 40 % TC (28-8  
clone)

% células tumorales para estudios  
moleculares : 90 %.

## Caso 3

### Oncomine™ Solid Tumour DNA Kit (Thermo Fisher)

**Analysis Results**

Analysis Name:

Summary    Functional    Population    Ontologies    Pharmacogenomics    Somatic    QC    Download    Visualize    Selected Variants

Classification	Type	Locus	Genes	Amino Acid Change	Coding	Coverage	% Frequency
Unclassified	SNV	chr17:7570457	TP53	p.Arg150Leu	c.473G>T	3987	AG=70.86, GG=0.00, TG=0.00, C=0.00
Unclassified	SNV	chr7:55259515	EGFR	p.Leu858Arg	c.2573T>G	3884	GG=37.37, GT=0.00

### Oncomine™ DNA Focus Assay (Thermo Fisher)

**Analysis Results**

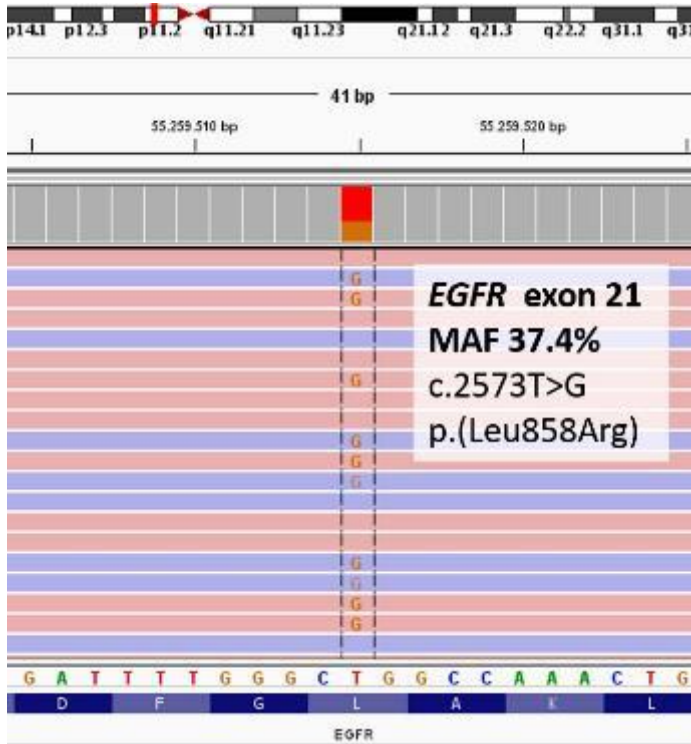
Analysis Name: 52653\_v2\_c1061\_2018-05-16-11-55-726    MAPD: 0.337

Summary    Oncomine    Functional    Population    Ontologies    Pharmacogenomics    Somatic    QC    Download    Visualize    Selected Variants

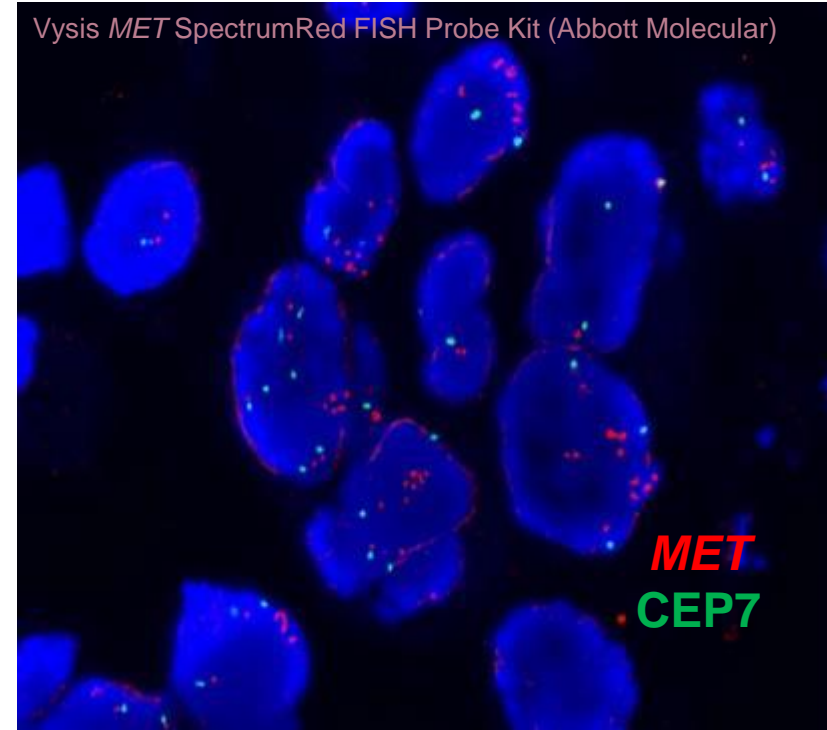
Locus	Oncomine Variant Class	Oncomine Gene Class	Genes	Amino Acid Change	Copy Number
chr7:55259514	Hotspot	Gain-of-function	EGFR	p.Leu858Arg	
chr7:118313479	Amplification	Gain-of-function	MET		5.67

## Caso 3

### Biopsia



Vysis MET SpectrumRed FISH Probe Kit (Abbott Molecular)



## Caso 3

SAMPLE ID	ANALYSIS START DATE
18M355	Sep 12, 2018 13:26:06 UTC
ANALYSIS WORKFLOW	PANEL
DefaultExpandedPanelWorkflow	Expanded
ADAPTER	FILTERSET
SA 1	DefaultFilterSet*
ISOLATED DNA MASS	SAMPLE VOLUME
50.00 ng	4.50 mL



## Results Summary

SNVs (3)				
Gene	Variant	Variant Description	Allele Fraction	No. of Mutant Molecules per mL
TP53	p.Arg158Leu p.Arg147Leu	Missense variant Missense variant	3.61%	133
EGFR	p.Leu858Arg	Missense variant	3.02%	111
BRAF	p.Leu597Gln	Missense variant	0.05%	1.95

## INDELS (0)

## CNV AMPLIFICATIONS (1)

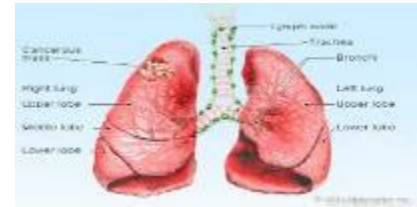
Gene

MET

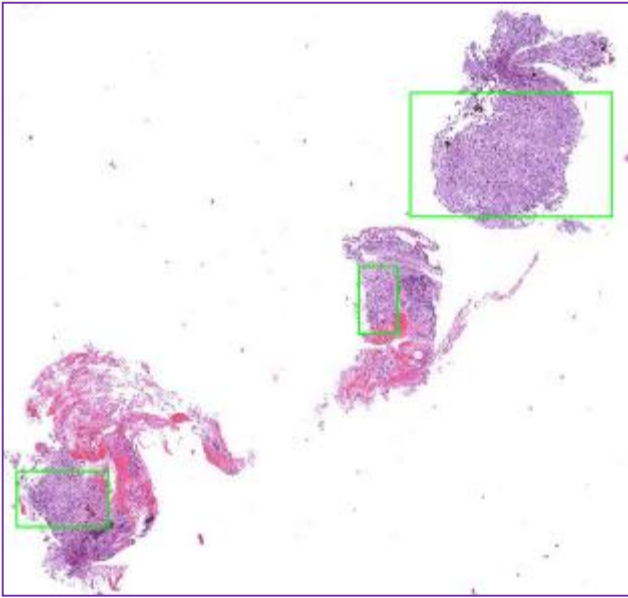
## Caso 4

- Mujer de 58 años
- Diagnosticada en Abril 2018 de adenocarcinoma de pulmón

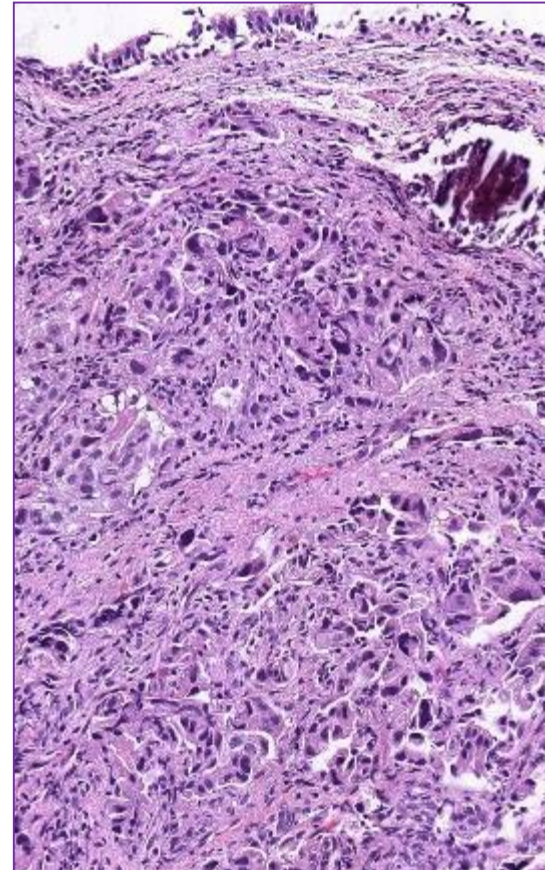
Lung cancer



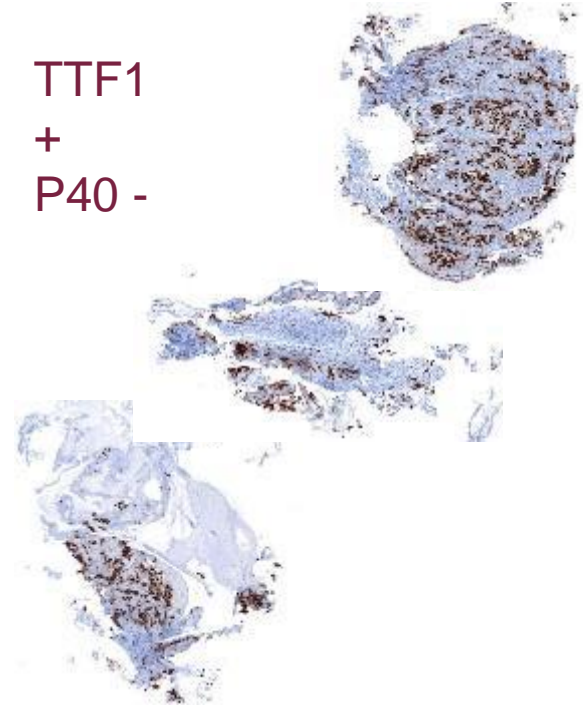
## Caso 4



NSLSC, probable  
adenocarcinoma después de IHQ



TTF1  
+  
P40 -



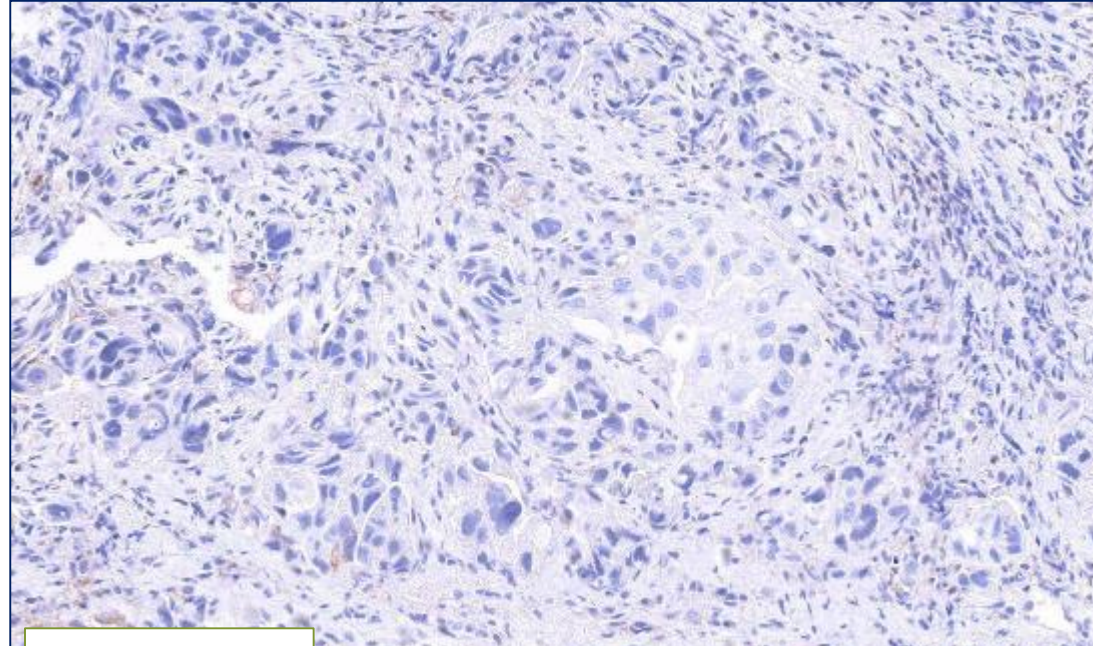
Porcentaje células tumorales:  
30 %

## Caso 4

PD-L1  
FISH ALK  
FISH ROS1  
FISH MET  
ONCOMINE



NEG

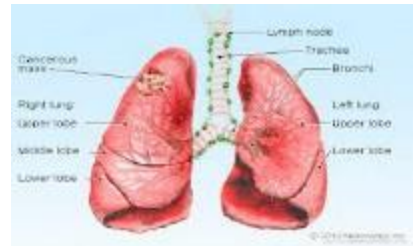


IHQ for PD-L1 (Ab 28-8, Dako, automatized Link 48 platform )  
Resultado : NEGATIVO (0 % células tumorales)

## Caso 4

- Mujer de 58 años
- Diagnosticada en Abril 2018 de adenocarcinoma de pulmón
- Sin biomarcadores positivos para terapia dirigida(EGFR-ALK-ROS1)
- Expresión PDL1 : 0%
- Quimioterapia Estandar

Lung cancer



## Caso 4

- Mujer de 58 años
- Diagnosticada en Abril 2018 de adenocarcinoma de pulmón
- Quimioterapia estandar
- Progresion clínica en Agosto 2018



**Screening NGS en plasma (biopsia líquida)**

# Oncomine Lung Cell free Total Nucleic Acid Assay (ADN+ARN circulante)

## Caso 4

Detecta SNVs, indels + FUSIONS

Assay	Configuration	SNVs	CNVs	TP53 coverage	Fusion (RNA)	Exon Skipping (RNA)
Lung cfTNA	DNA + RNA	36 amplicons	10 (target CNVs) + 12 (ref CNVs)		49 assays	3 assays

	Hotspot Genes	Full-Length Genes	Copy Number Genes	Gene Fusions	Exon Skipping	
Lung cfTNA	ALK BRAF EGFR ERBB2 KRAS MAP2K1	MET NRAS PIK3CA ROS1 TP53	-	MET	ALK RET ROS1	MET

# Oncomine Lung cell-free Total Nucleic Acid Assay Result

**Ion Reporter**

- [Home](#)
- [Samples](#)
- [Analyses](#)
- [Workflow](#)

Hi. Beatriz Belotti. 2.7 TR15 TR Help Sign Out

**Analysis Visualization**

ctDNA    IRGM

Summary    SNV / Indel    CNV    Fusion

Analysis Name : Sample Name/Barcode ID  
51902\_v1\_01147\_2017-11-27\_19-35-551 ; 51902\_v100nBarcodeLog\_0105

Gene	MAF (%)
TP53	4.73%
TP53	0.05%

Items per page: 10 20 20 Items per page

**Fusion**

Variant (exons)	Mol Cov. Mutant	QC Test
KIF5B- RET.K15R12.COSF1232	16	<input checked="" type="checkbox"/>

1 - 1 of 1 items

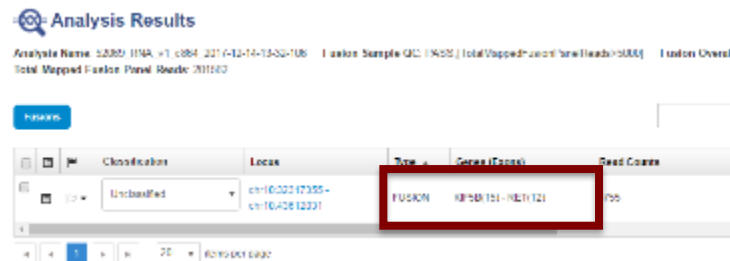
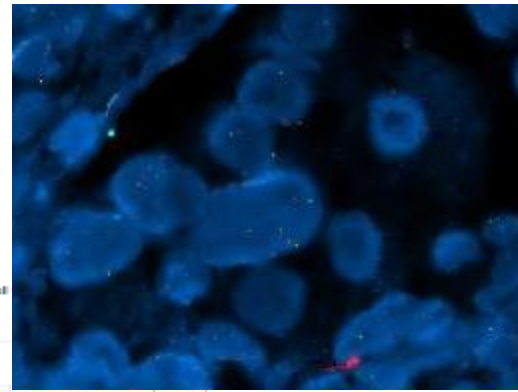
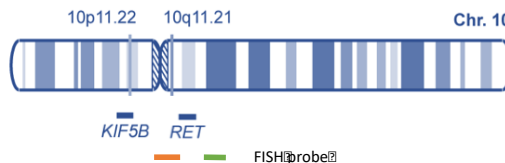
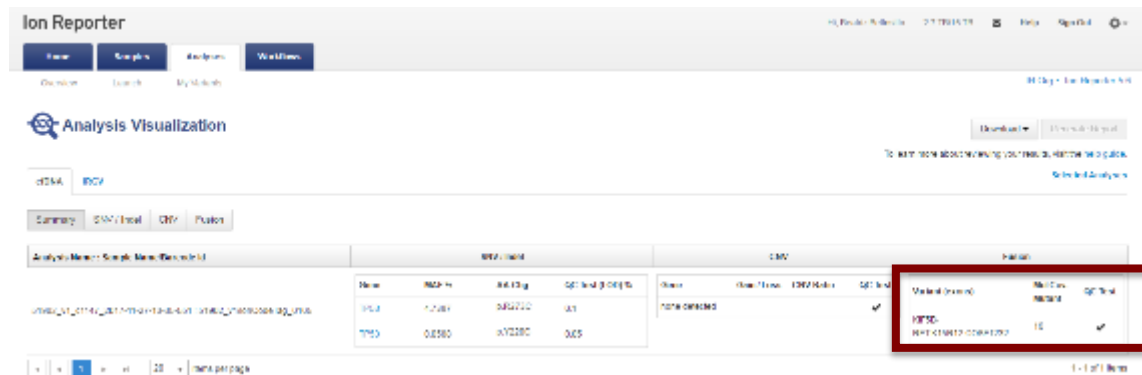
**Heterogeneity in patients with adenocarcinoma of the lung according to driver oncogenes:**

The RET section is circled in red.

**Selected Analyses**

Variant (exons)	Mol Cov. Mutant	QC Test
COSF1232	16	<input checked="" type="checkbox"/>

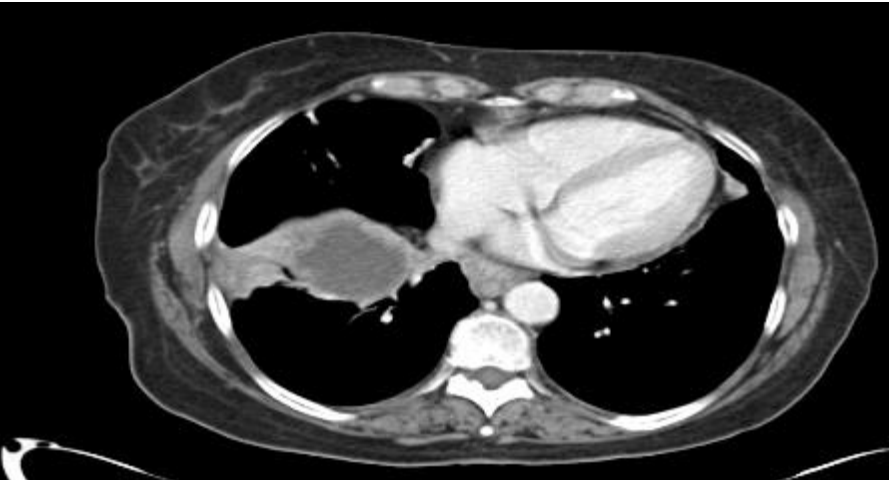
1 - 1 of 1 items

**Caso 4**

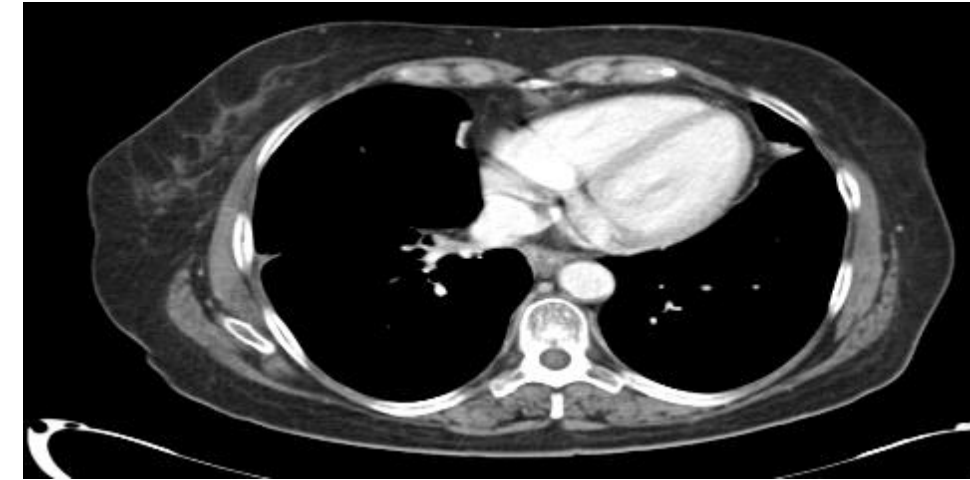
**Oncomine solid tumor CE-IVD**

## Caso 4

Basal



C5D1

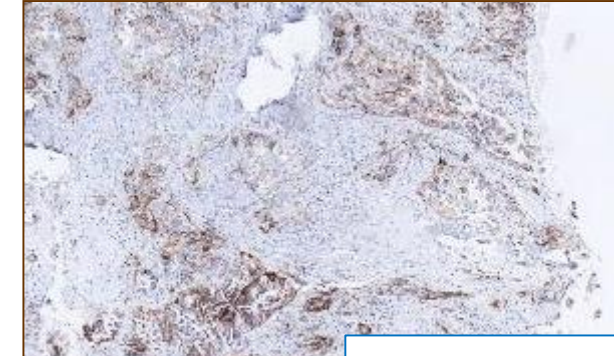
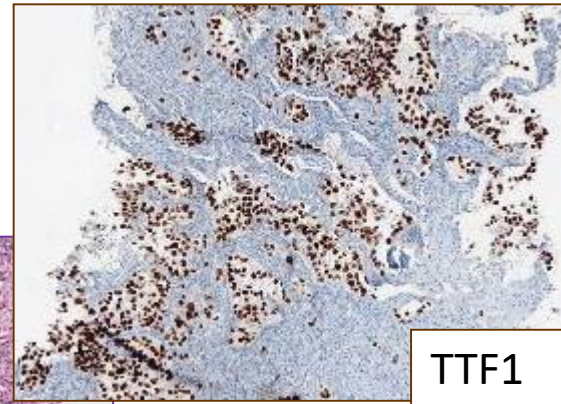
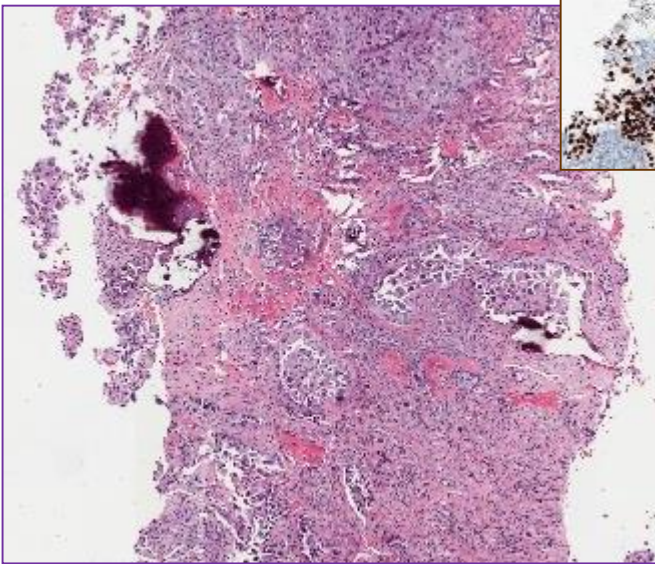


LOXO 292  
120 mg BID

## Caso 5

Hombre de 58 años, fumador (IA: 40 paq/año)

- Marzo 2018: Adenocarcinoma pulmón T4N2M1c (óseas)



Marzo 2018: Biopsia ósea: M1  
adenocarcinoma

El porcentaje de células tumorales seleccionadas para  
los estudios moleculares y citogenéticos es del 80 %

Estudio de  
Biomarcadores  
PD-L1

ONCOMINE SOLID TUMOR  
DNA

FISH ALK  
FISH ROS:  
FISH MET

NEG

**EGFR L858R y TP53  
L132R**

## Caso 5

Hombre de 58 años, fumador (IA: 40 paq/año)

Marzo 2018: ADC pulmón T4N2M1c (óseas). EGFR mutado L858R exón 21. PDL1: 95%. Afatinib. Respuesta parcial

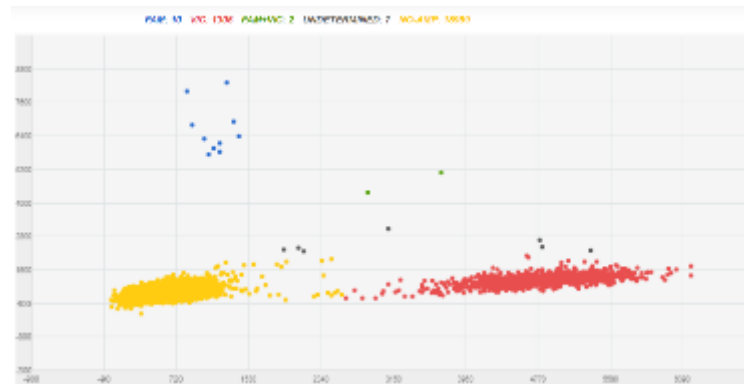
Abril 2019: Progresión cerebral y leptomenígea.

ctDNA: *EGFR* T790M. Osimertinib. Enfermedad estable

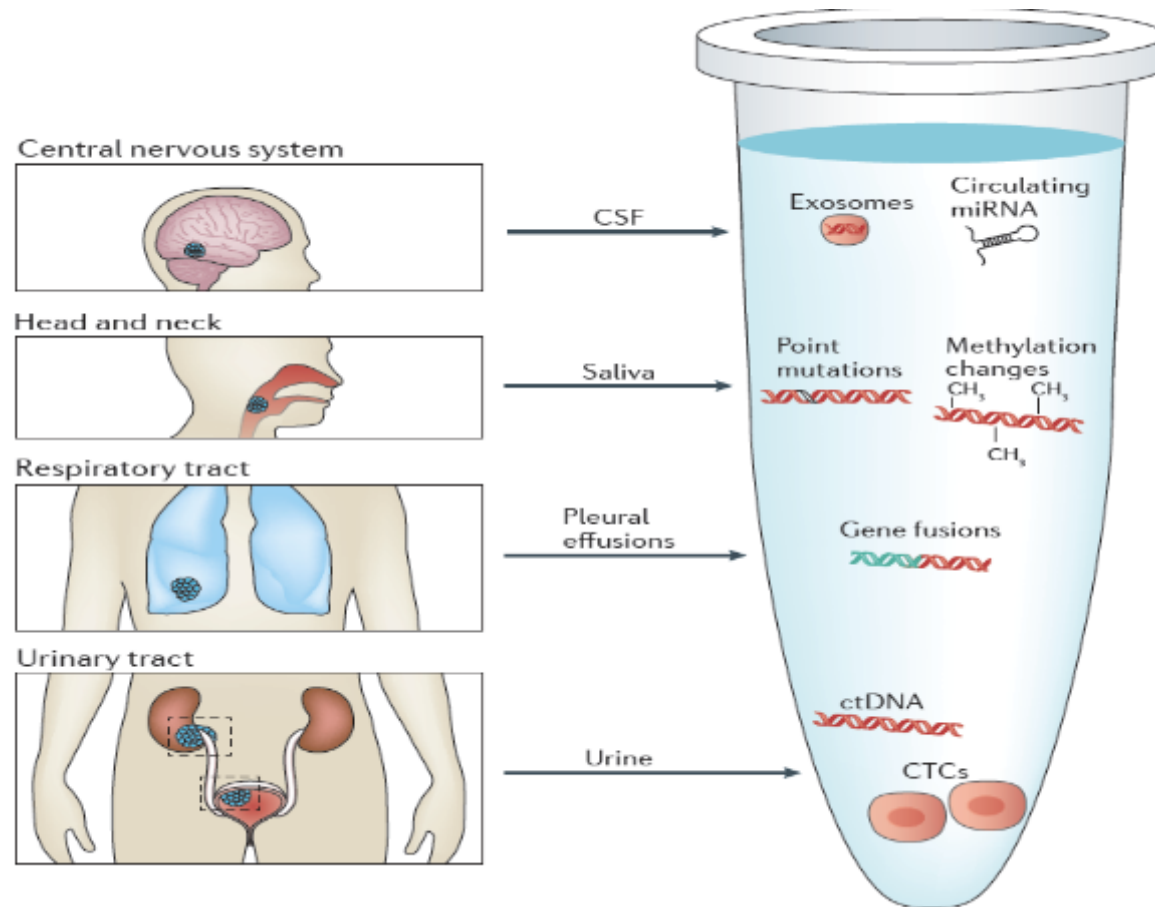


Plasma ctDNA PCR digital T790M 0,76%

Octubre 2019: Progresión pulmonar y leptomenígea



# Liquid biopsy is not only peripheral blood



**cfDNA CSF  
SAMPLE**  
(04/10/2019)

[cfDNA] = 6.9 ng/ml  
plasma  
Oncomine Lung  
cfTOTAL

**EGFR L858R 34%**  
**TP53 L132R 49%**

**CSF PELLET  
SAMPLE**  
(04/10/2019)

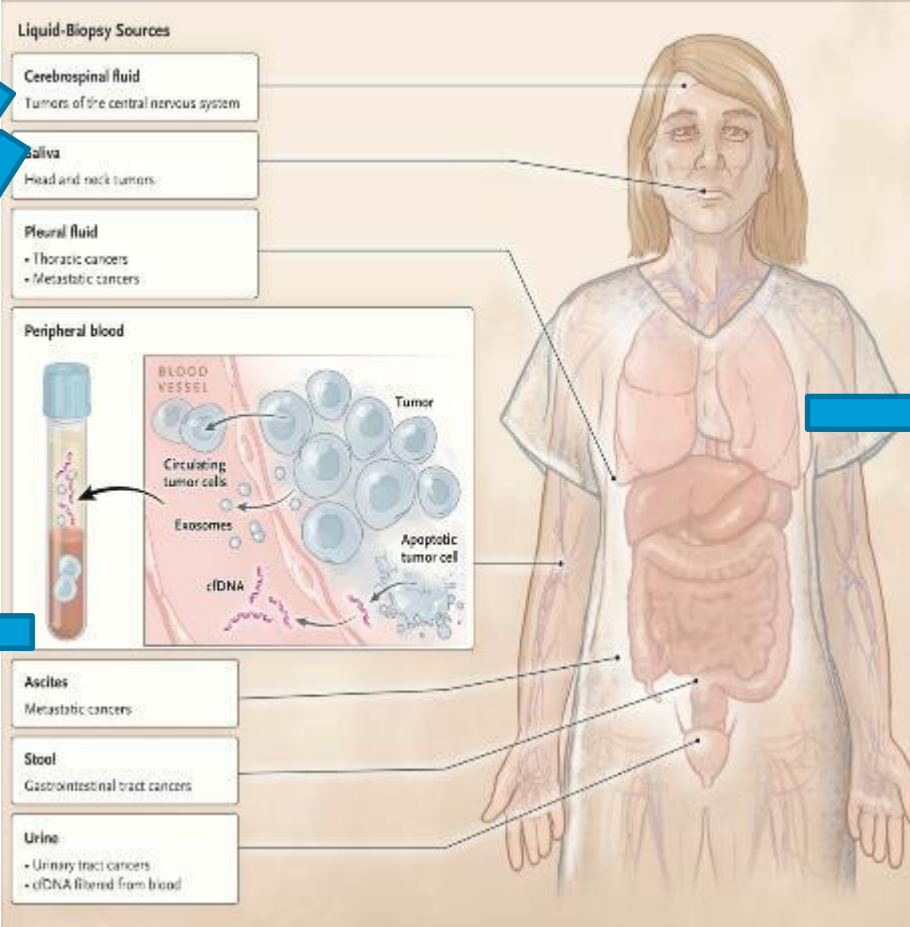
Oncomine TML  
Assay

**EGFR L858R 5.8%**  
**TP53 L132R 8.3%**  
**5.7 Muts/Mb**

**cfDNA PLASMA  
SAMPLE**  
(20/09/2019)

[cfDNA] = 10.4 ng/ml  
plasma  
Oncomine Lung  
cfDNA Assay

**NONE DETECTED**



**LUNG  
NODULE  
BIOPSY**  
(10/03/2018)

Oncomine Solid  
Tumor DNA

**EGFR L858R  
48%**  
**TP53 L132R 66%**

## Caso 5

Hombre de 58 años, fumador (IA: 40 paq/año)

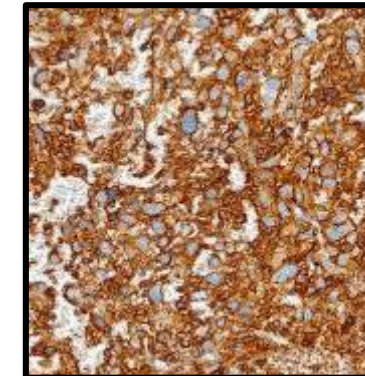
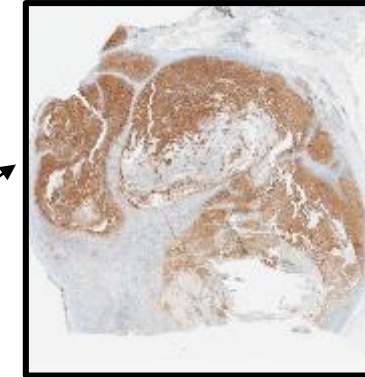
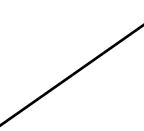
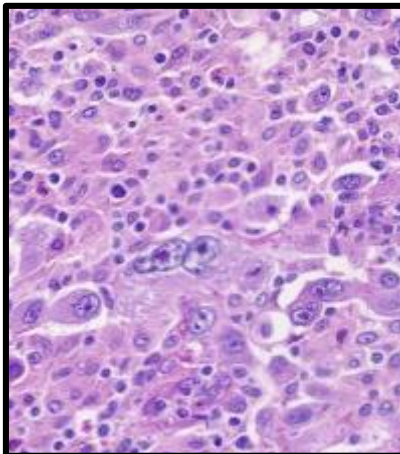
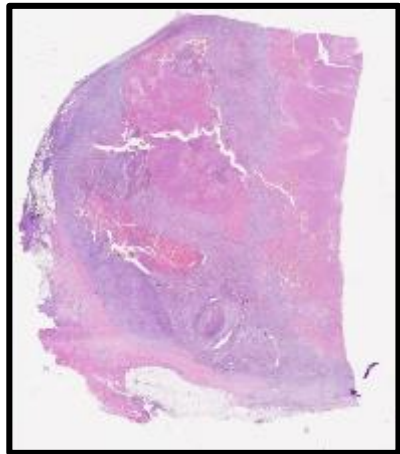
- Marzo 2018: ADC pulmón T4N2M1c (óseas). EGFR mutado L858R exón 21. PDL1: 95%. Afatinib. Respuesta parcial
- Abril 2019: Progresión cerebral y leptomeníngea. ctDNA: *EGFR* T790M. Osimertinib. Enfermedad estable
- Octubre 2019: Progresión pulmonar y leptomeníngea. ctDNA LCR: L858R + TP53. T790M negativa. Erlotinib
- Noviembre 2019: Progresión clínica carcinomatosis meníngea. Metrotrexate intratecal x1 administración, STOP por deterioro clínico
- Diciembre 2019: Exitus

## Caso 6

Hombre de 78 años, fumador (IA: 100 paq/año)

- Octubre 2020: ADC pulmón T4N1M1b (SR)
- Nos remiten la muestra para NGS

## Caso 6



PDL1 (SP263)

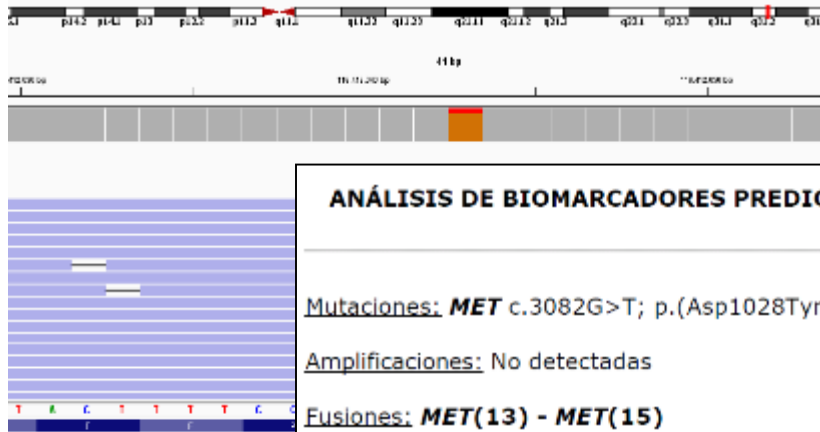
PDL1 POSITIVO  
100% CÉLULAS  
TUMORALES

10/2020  
Suprarenalectomía  
derecha (caso  
consulta)

**Mx CPCNP  
(ADK)**  
(\*70% celularidad  
neoplásica)

→ **NGS**

# Resultado Oncomine Dx Target Test DNA



## **ANÁLISIS DE BIOMARCADORES PREDICTIVOS EN CÁNCER DE PULMÓN NO MICROCÍTICO**

Mutaciones: MET c.3082G>T; p.(Asp1028Tyr) VAF%: 16,4

**Amplificaciones: No detectadas**

Fusiones: MET(13) - MET(15)

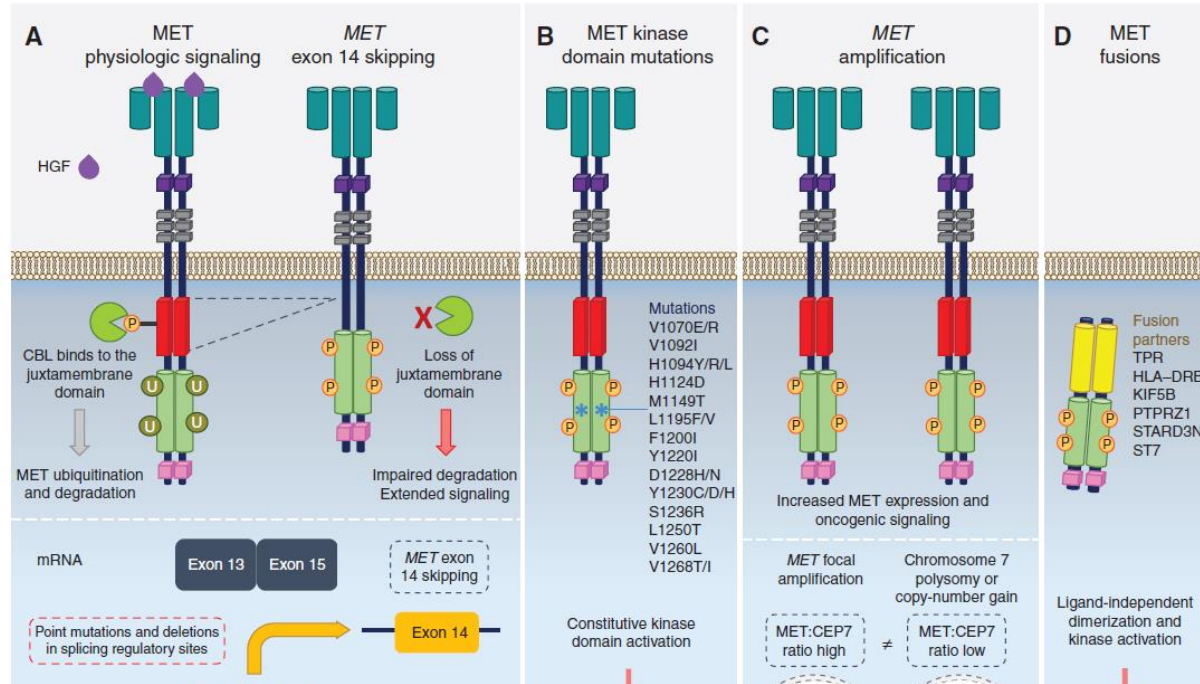
**Interpretación:** Se ha detectado la mutación patogénica D1028Y en el gen *MET* causante de pérdida del exón 14 del mismo gen, confirmada por el resultado de fusiones del panel RNA que detecta la presencia de fusión de los exones 13 y 15. La pérdida del exón 14 del gen *MET* detectada en la muestra está asociada a sensibilidad al tratamiento inhibidor tirosina quinasa anti-*MET* que actualmente se encuentra en fase de desarrollo clínico.

16%

## Resultado Oncomine Dx Target Test RNA

Type	Filter	Genes (Exons)	Read Counts	Detection
RNAExonVariant	PASS	MET(13) - MET(15)	143	Present
EXPR_CONTROL	PASS	TBP	21769	Present
<b>VOS EN CÁNCER DE PULMÓN NO MICROCÍTICO</b>				
AF%: 16,4				
Atogénica D1028Y en el gen <i>MET</i> causante de pérdida resultado de fusiones del panel RNA que detecta la pérdida del exón 14 del gen <i>MET</i> detectada en la muestra inhibidor tirosina quinasa anti-MET que actualmente se				
LOW_5P_3P_IMBALANCE_SCORE				
LOW_5P_3P_IMBALANCE_SCORE				
LOW_5P_3P_IMBALANCE_SCORE				
Absent, READ_COUNT<=120				

# MET alterations and Downstream Signaling



All four classes of MET alterations lead to increase expression and activity  
 MET expression is required but not sufficient for MET-dependent tumorigenesis  
 Multiple mechanisms can be present together

## Caso 6

Hombre de 78 años, fumador (IA: 100 paq/año)

- Octubre 2020: ADC pulmón T4N1M1b (SR)

### ***MET mutado D1028Y (exón 14 skipping mutation)***

- Diciembre 2020: Inicia tratamiento con Bozitinib (inhibidor de MET) dentro de ensayo clínico APL-101-01

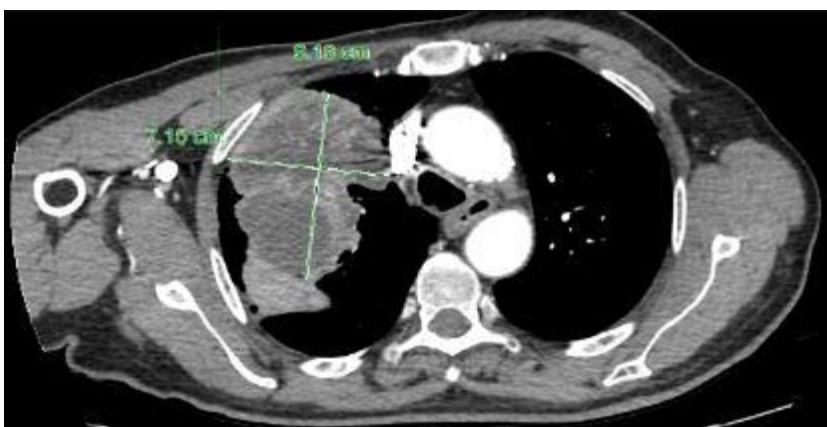
AVANTE

DIAGNÓSTICO MOLECULAR

23 Nov 2020



15 Sep 2021



## Caso 7

Mujer de 71 años, no fumadora

- Septiembre 2019 (VISITA 2<sup>a</sup> OPINIÓN): ADC pulmón EIV (cerebrales, pulmonares bilaterales, dudosa hepática)
- Diagnóstico AP externo **fusión de ALK** por IHQ
- Inicia Alectinib
- Noviembre 2019: Bloque consulta → Material insuficiente para el estudio NGS

		<b>SERVEI DE PATHOLOGIA</b>					Versió 2
Pg. Maritim, 25/29 08003 Barcelona Tel. 93 248 30 32 Fax. 93 248 31 31							
<b>INFORME ADICIONAL</b>							
Nombre	Edad	Sexo	N.Historia	Obtención 27/11/2019	Registro 29/11/2019	Núm.Biopsia	
- BLOQUE CASO CONSULTA							
<b>- RESULTADO ESTUDIO INMUNOHISTOQUÍMICO PARA ALK CON SISTEMA OPTIVIEW Y ANTICUERPO DE Ventana anti-ALK D5F3: POSITIVO.</b>							

- Septiembre 2019: ADC pulmón EIV (cerebrales, pulmonares bilaterales, dudosa hepática). Fusión ALK (IHQ). Alectinib. Respuesta parcial
- Marzo 2021: Progresión local. Rápido crecimiento de la lesión pulmonar → Estudio de mecanismos de resistencia en ctDNA

Muestra sangre periférica (extracción 4 ml plasma → 104 ng/ml → Oncomine Lung Cell-Free Total Nucleic Acid Assay)

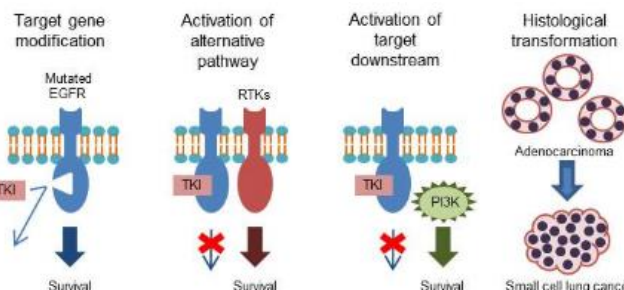
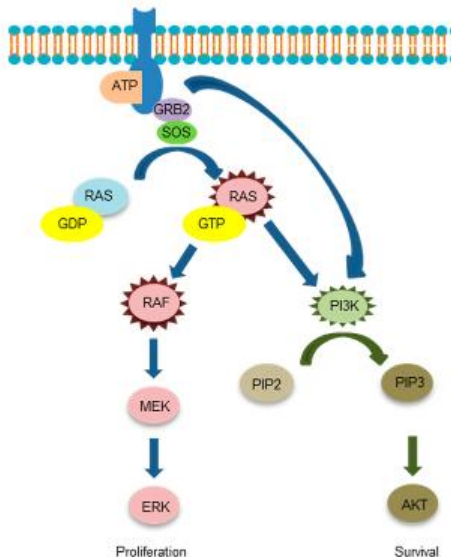
### Analysis Results

Analysis Name:

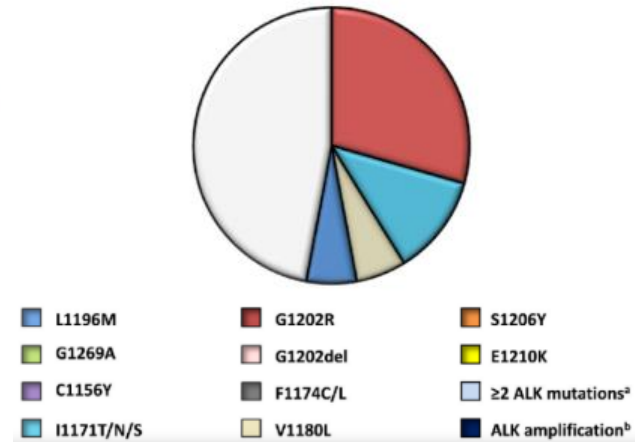
MAPD: 0.133 Median Read Coverage: 151661.0 Median Molecular Coverage: 6270.0 Limits of Detection %: 0.0985 - 0.1138

Summary	LOD	Oncomine	Fusions	Functional	Population	Ontologies	Pharmacogenomics	QC	Search	Go	Preferences
<input type="checkbox"/>	<input type="checkbox"/>	<input type="checkbox"/>	Locus	Genes	Amino Acid Change	Ref	Genotype	Coverage	Allele Ratio		Oncomine Gene Class
<input type="checkbox"/>	+	chr2:29443679	ALK	p.V1180L	C	C/G	7336	C=0.9989, G=0.0011			Gain-of-function
<input type="checkbox"/>	+	chr3:178936091	PIK3CA	p.E545K	G	G/A	6565	G=0.9968, A=0.0032			Gain-of-function
<input type="checkbox"/>	+	chr12:25398284	KRAS	p.G12V	CC	CC/AC	6692	CC=0.9975, AA=0.0, AC=0.0025, GC=0.0, TC=0.0			Gain-of-function
<input type="checkbox"/>	+	chr17:7577547	TP53	p.G245D	C	C/T	6513	C=0.9955, A=0.0, T=0.0045			Loss-of-function

	Locus	Genes	Amino Acid Change	Ref	Genotype	Coverage	Allele Ratio	Oncomine Gene Class
<input type="checkbox"/>	+ <input checked="" type="checkbox" value=""/>	chr2:29443679	ALK	p.V1180L	C	C/G	7336 C=0.9989, G=0.0011	Gain-of-function
<input type="checkbox"/>	+ <input checked="" type="checkbox" value=""/>	chr3:178936091	PIK3CA	p.E545K	G	G/A	6565 G=0.9968, A=0.0032	Gain-of-function
<input type="checkbox"/>	+ <input checked="" type="checkbox" value=""/>	chr12:25398284	KRAS	p.G12V	CC	CC/AC	6692 CC=0.9975, AA=0.0, AC=0.0025, GC=0.0, TC=0.0	Gain-of-function
<input type="checkbox"/>	+ <input checked="" type="checkbox" value=""/>	chr17:7577547	TP53	p.G245D	C	C/T	6513 C=0.9955, A=0.0, T=0.0045	Loss-of-function



C) Alectinib-Resistant Specimens  
N=17



Gainor, Justin F. et al. "Molecular Mechanisms of Resistance to First- and Second-Generation ALK Inhibitors in ALK-Rearranged Lung Cancer." *Cancer discovery* 6 10 (2016): 1118-1133

Nagano T, Tachihara M, Nishimura Y. Mechanism of Resistance to Epidermal Growth Factor Receptor-Tyrosine Kinase Inhibitors and a Potential Treatment Strategy. *Cells*. 2018 Nov 15;7(11):212

## INFORME LABORATORI BIOLOGIA MOLECULAR

Nom	Edat	Sexe	N.Història	Obtenció	Registre	Num.Exploració
	72	M		11/03/2021	11/03/2021	
Centre Sol.licitant H. DEL MAR		N.Assist.				
Servei ONCOLOGIA		N.Cas				
Sol.licitant ARRIOLA APERRIBAY EDURNE		Data Sol.llicitud Tècnica 11/03/2021				

Tipus de mostra: Sang perifèrica

## Anàlisi d'alteracions genètiques mitjançant seqüenciació massiva amb panell Oncomine Lung Cell-Free Total Nucleic Acid Assay

Mutacions (SNVs/INDELS)			Amplificacions (CNVs)			Fusions	
ALK	MUTAT	MET	No detectat	MET	No detectat	ALK	Veure comentari
BRAF	No detectat	NRAS	No detectat			RET	No detectat
EGFR	No detectat	PIK3CA	MUTAT			ROS1	No detectat
ERBB2	No detectat	RET	No detectat				
KRAS	MUTAT	ROS1	No detectat				
MAP2K1	No detectat	TP53	MUTAT				

**Comentaris:** S'han detectat alteracions patogèniques als gens ALK c.3538G>C; p.(Val1180Leu) 0,11%, KRAS c.35G>T; p.(Gly12Val) 0,25%, PIK3CA c.1633G>A; p.(Glu545Lys) 0,32% TP53 c.734G>A; p.(Gly245Asp) 0,45%. Donat el context de progrésso a tractament amb inhibidors d'ALK de la pacient, aquestes alteracions podríen explicar-se com a mecanismes de resistència a la fusió d'ALK donada l'affecció de la mitoquina quinasa d'ALK (V1180L) i la situació down-stream en la mitoqua via activada pel receptor tirosina quinasa oncoèlitic en el cas de les mutacions de KRAS i PIK3CA. Malgrat això, si no detectar-se la fusió d'ALK en aquesta mostra de sang perifèrica, l'assag es considera no informatiu i es demana nova mostra. També es recomana l'anàlisi per NGS del panell que inclou els mutacions detallades en una mostra inicial del teixit diagnosticat de la paciente per a valorar la seva implicació com a mecanismes de resistència adquirits. La mostra està representada per 10,4 ng de DNA lluitre circulant per ml de plasma i el límit de detecció aconseguit amb l'anàlisi per NGS a estat de 0,09%.

**Metodologia:** L'ADN i ARN extrets de la mostra s'han amplificat conjuntament mitjançant el panell Oncomine Lung Cell-Free Total Nucleic Acid Assay (Thermo Fisher) generant una biblièria que permet l'estudi de mutacions als principals hotspots dels gens ALK, BRAF, EGFR, ERBB2, KRAS, MAP2K1, MET, NRAS, PIK3CA, RET, ROS1 i TP53; d'alteracions de nombre de còpies del gen MET; i de fusions dels gens ALK, RET i ROS1. La seqüenciació s'ha realitzat amb la plataforma de seqüenciació massiva Ion 55 i les seqüències obtingudes s'han analitzat amb el programa Torrent Suite v5.10.1. La validació i interpretació dels resultats s'ha realitzat amb el software Ion Reporter 5.10.1.0.

Les seqüències de referència utilitzades són les següents: ALK: NM\_004304.4, BRAF: NM\_004333.4, EGFR: NM\_005228.4, ERBB2: NM\_004448.3, KRAS: NM\_033953.3, MAP2K1: NM\_002755.3, MET: NM\_00127500.2, NRAS: NM\_002524.4, PIK3CA: NM\_008218.3, RET: NM\_20975.6 , ROS1: NM\_002944.2 i TP53: NM\_000545.5.

ALK c.3538G&gt;C; p.(Val1180Leu) 0,11%

PIK3CA c.1633G&gt;A; p.(Glu545Lys) 0,32%

KRAS c.35G&gt;T; p.(Gly12Val) 0,25%

TP53 c.734G&gt;A; p.(Gly245Asp) 0,45%

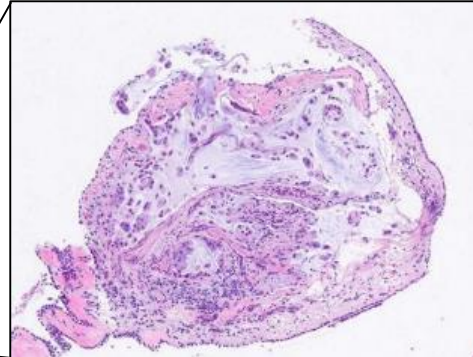
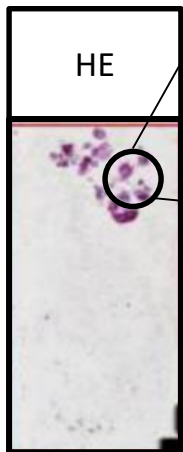


Se recomienda el estudio de estas mutaciones en muestra de tejido tumoral para valorar su implicación como mecanismos de resistencia adquiridos

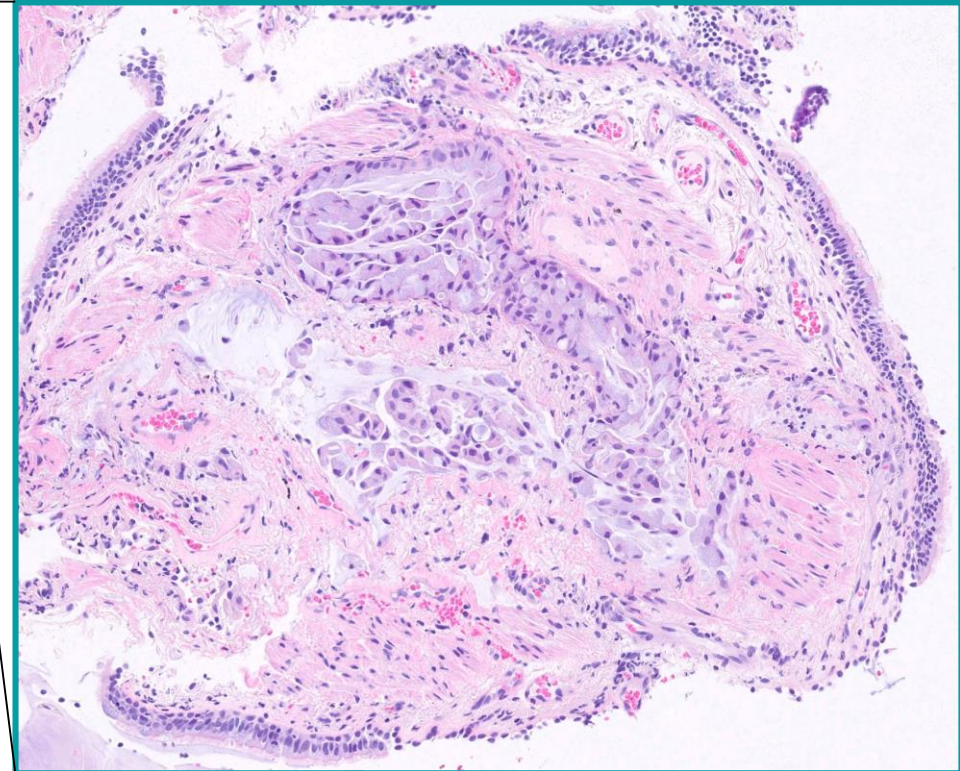
Locus	Type	Oncomine Driver Gene	Read Cov. Mut...	Mol Cov. Mut..	Detection	QC Test
chr6:170871321	ProcControl	TBP	8655	277	Present	✓
chr11:118960975	ProcControl	HMB8	14690	477	Present	✓
chr7:116395569	RNAExonVariant	MET	166	7	Present	✓
chr7:116403322	RNAExonVariant	MET	316	13	Present	✓
chr7:116411708 - chr7:116414935	RNAExonVariant	MET(13) - MET(15)	32	1	Absent, MOL_COUNT<2	✓

La no detecció de la fusió de ALK concomitant a los possibles mecanismos de resistència ALK-TKI, se recomienda repetir en nueva muestra de sangre periférica

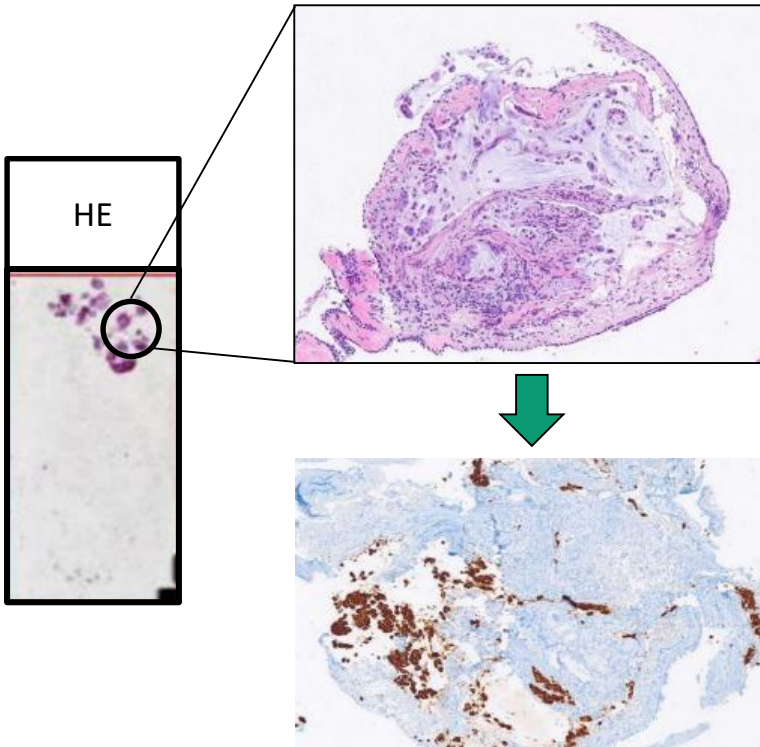
- Marzo 2021: Biopsia bronquial LID



INFILTRACIÓN DE LÁMINA  
PROPIA POR  
ADENOCARCINOMA



- Marzo 2021: Biopsia bronquial LID



**ALK POSITIVO** (Ventana anti-ALK D5F3)

#### INFORME FINAL

Nombre	Edad	Sexo	N.Historia	Obtención	Registro	N.º Biopsia
				31/03/2021	31/03/2021	

Muestras remitidas y localización:

1 - BIOPSIA BRONQUIAL (BRONQUIO LOBAR INFERIOR DERECHO)

**Centro Solicitante:** HOSPITAL DEL MAR  
**Servicio:** Pneumología  
**N.Asist.:**  
**Solicitante:** SÁNCHEZ FONT ALBERT  
**Remitir resultados a:** SÁNCHEZ FONT ALBERT

**Residente:** PUCHE GALLEGOS, ADRIÁN  
**Examen Macroscópico:** AIRINE HERRERA GALERA  
**Patólogo Responsable:** PIJUAN ANDUJAR LARA  
**Consulta Intraoperatoria:**

#### BIOPSIA BRONQUIAL (BRONQUIO LOBAR INFERIOR DERECHO)

##### DESCRIPCION MACROSCOPICA

Se recibe en formol, cuatro fragmentos de tejido de morfología puntiforme, superficie rugosa, coloración blanquecina y consistencia friable que miden, en conjunto, 8x2x2mm.

Códigos Secciones  
XX Biopsia bronquial 1/4

##### DIAGNOSTICO

###### BIOPSIA BRONQUIAL:

- CUATRO FRAGMENTOS DE MUCOSA BRONQUIAL, TRES DE ELLOS CON INFILTRACIÓN EN LA LÁMINA PROPIA POR ADENOCARCINOMA.

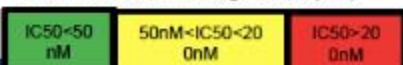
##### COMENTARIOS

Quedamos pendientes del estudio de biomarcadores mediante técnicas de biología molecular (NGS) así como estudio de ALK por inmunohistoquímica y de MET por FISH. El patrón de crecimiento del adenocarcinoma representado en la biopsia es sólido con vacuolas citoplasmáticas y el porcentaje de células tumorales seleccionadas para los estudios moleculares y citogenéticos es del 30 % en un área de 14 mm<sup>2</sup>. Remitiremos un informe adicional con el resultado obtenido.

Material insuficiente para NGS

Variant	Crizotinib	Ceritinib	Alectinib	Brigatinib	Ensartinib	Lorlatinib
WT	205.62	124.27	49.72	23.02	27.75	5.31
G1123S	57.62	759.16	4.60	20.91	1.79	4.29
I1151Tins	583.55	293.45	>10000	26.92	109.39	37.04
L1152P	162.7	214.1	3.77	1.37	16.12	4.98
L1152R	376.2	348.8	8.21	1.48	29.03	9.75
C1156T	281.9	118.9	45.67	13.73	30.75	9.02
C1156Y	154.50	127.15	8.24	4.39	16.39	3.63
I1171N	287.2	182.7	341.7	21.63	21.5	34.8
I1171T	168.58	56.21	18.11	4.04	13.63	8.82
F1174C	400.06	344.63	238.92	50.72	70.9	15.51
F1174L	224.95	207.9	28.355	26.85	40.92	7.95
E1174V	612.4	578.23	221.83	70.70	82.51	23.09
V1180L	160.68	44.53	1375.85	10.49	15.434	5.34
L1196M	803.5	142.42	297.24	20.80	75.58	53.53
L1198F	41.95	1636.33	1122.25	108.28	3.072	68.66
G1202del	281.23	645.13	697.1	118.88	424.62	21.78
G1202R	420.36	441.6	>10000	85.07	453.43	33.59
D1203N	617.75	681.95	277.4	257.06	59.88	90.22
S1206C	299.3	236.25	215.6	59.2	41.81	6.67
S1206Y	156.59	74.65	8.477	17.66	45.25	3.67
E1210K	609.8	470.5	926.6	219.8	644	16.59
F1245C	377.16	316.23	262.58	58.94	70.46	19.5
G1269A	670.06	108.25	1549.78	13.65	170.50	58.85
G1269S	919.7	195.5	148.6	17.71	328	156.7

EML4-ALK V3 Average IC50 (nM)



## Heatmap of all 6 ALK inhibitors against ALK mutations

- The spectrum of ALK resistance mutations varies according to ALK inhibitor
- Majority are resistant to crizotinib

Slide courtesy of : Huan Qiao, MD, PhD,  
 Vincent Huang and Christine Lovly MD, PhD

## Caso 7

Mujer de 71 años, no fumadora.

**Septiembre 2019:** ADC pulmón EIV (cerebrales, pulmonares bilaterales, dudosa hepática). **ALK+ (IHQ).**  
Alectinib. Respuesta parcial

**Marzo 2021:** Progresión pulmonar. ctDNA: **Mutación resistencia ALK V1180L + TP53, KRAS, PIK3CA**

**31/3/21: Inicia Lorlatinib → Respuesta parcial**

ALK c.3538G>C; p.(Val1180Leu) 0,9%

**Febrero 2023:** progresión grasa cardiofrénica, pleural y ganglionar supra e infradiaphragmática.

PIK3CA c.1633G>A; p.(Glu545Lys)

KRAS c.35G>T; p.(Gly12Val)

Carboplatino – pemetrexed x4c. Enfermedad estable. STOP por mala tolerancia.

TP53 c.734G>A; p.(Gly245Asp) 2,2%

**Agosto 2023:** Ensayo clínico Hospital Vall d'Hebrón NV655 (inh. ALK 4º gen.). Respuesta parcial.

**Noviembre 2023:** Progresión pulmonar. Carboplatino – paclitaxel semanal.

ALK c.3538G>C; p.(Val1180Leu) 1,2%

**Febrero 2024:** Progresión hepática.

TP53 c.734G>A; p.(Gly245Asp) 2,5%

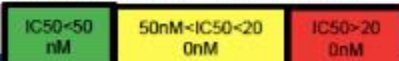
ALK c.3538G>C; p.(Val1180Leu) 1,5 %

TP53 c.734G>A; p.(Gly245Asp) 3,3%

TP53 c.818G>T; p.(Arg273His) 0,4%

Variant	Crizotinib	Ceritinib	Alectinib	Brigatinib	Ensartinib	Lorlatinib
WT	205.62	124.27	49.72	23.02	27.75	5.31
G1123S	57.62	759.16	4.60	20.91	1.79	4.29
I1151Tins	583.55	293.45	>10000	26.92	109.39	37.04
L1152P	162.7	214.1	3.77	1.37	16.12	4.98
L1152R	376.2	348.8	8.21	1.48	29.03	9.75
C1156T	281.9	118.9	45.67	13.73	30.75	9.02
C1156Y	154.50	127.15	8.24	4.39	16.39	3.63
I1171N	287.2	182.7	341.7	21.63	21.5	34.8
I1171T	168.58	56.21	18.11	4.04	13.63	8.82
F1174C	400.06	344.63	238.92	50.72	70.9	15.51
F1174L	224.95	207.9	28.355	26.85	40.92	7.95
E1174V	612.4	578.23	221.83	70.70	82.51	23.09
V1180L	160.68	44.53	1375.85	10.49	15.434	5.34
L1196M	803.5	142.42	297.24	20.80	75.58	53.53
L1198F	41.95	1636.33	1122.25	108.28	3.072	68.66
G1202del	281.23	645.13	697.1	118.88	424.62	21.78
G1202R	420.36	441.6	>10000	85.07	453.43	33.59
D1203N	617.75	681.95	277.4	257.06	59.88	90.22
S1206C	299.3	236.25	215.6	59.2	41.81	6.67
S1206Y	156.59	74.65	8.477	17.66	45.25	3.67
E1210K	609.8	470.5	926.6	219.8	644	16.59
F1245C	377.16	316.23	262.58	58.94	70.46	19.5
G1269A	670.06	108.25	1549.78	13.65	170.50	58.85
G1269S	919.7	195.5	148.6	17.71	328	156.7

EML4-ALK V3 Average IC50 (nM)



## Heatmap of all 6 ALK inhibitors against ALK mutations

→ Inicio tratamiento Brigatinib

- The spectrum of ALK resistance mutations varies according to ALK inhibitor
- Majority are resistant to crizotinib

Slide courtesy of : Huan Qiao, MD, PhD,  
Vincent Huang and Christine Lovly MD, PhD

## Caso 8

Noviembre 2005, mujer 54 años, carcinoma infiltrante lobulillar en mama derecha ; receptor hormonal positivo; HER2 negativo

6 ciclos de esquema TAC neoadyuvante

Se practicó mastectomía derecha con linfadenectomía ipsilateral (ypT4bN1M0) y se trató posteriormente con radioterapia adyuvante y hormonoterapia (Letrozol) durante 5 años.

Un año después (Nov' 12) presentó recidiva bioquímica con lesiones óseas sospechosas, por lo que ingresó a ensayo clínico con Examestan y Everolimus (CRAD 001YIC04).

De 2015 a 2016 elevación progresiva de marcadores bioquímicos (CEA/Ca15.3) sin progresión radiológica,

Breast cancer



# Historia oncológica

DIAGNÓSTICO MOLÉCULAR

Lesión mamaria y adenopatía sospechosa  
BAG: **carcinoma lobulillar infiltrante**  
PAAF: negativo para células malignas

**cT3cN0M0**

**Mastectomía y linfadenectomía**  
post quimioterapia neoadyuvante

**ypT4bypN1M  
0**

QT

R

Letrozol

2005 2006

Progresión **bioquímica**  
Lesiones **óseas** radiológicas

Exemestano-everolimus

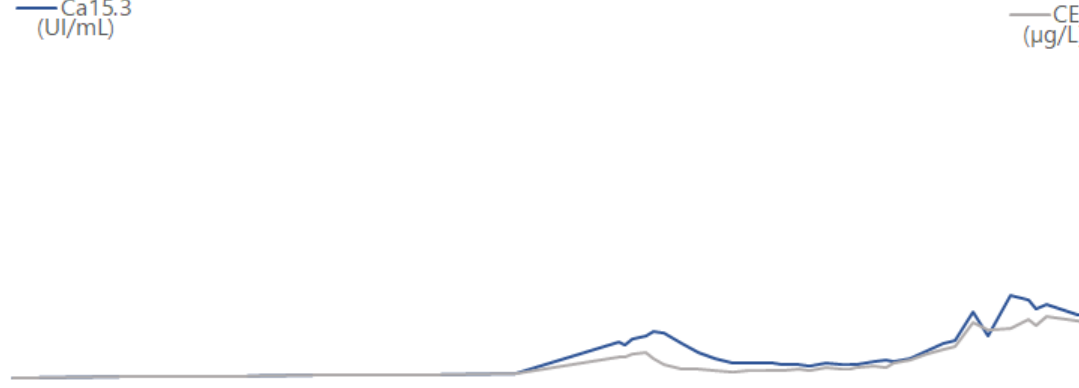
2012 2015 2016

2500  
2000  
1500  
1000  
500  
0

Ca15.3 (UI/mL)

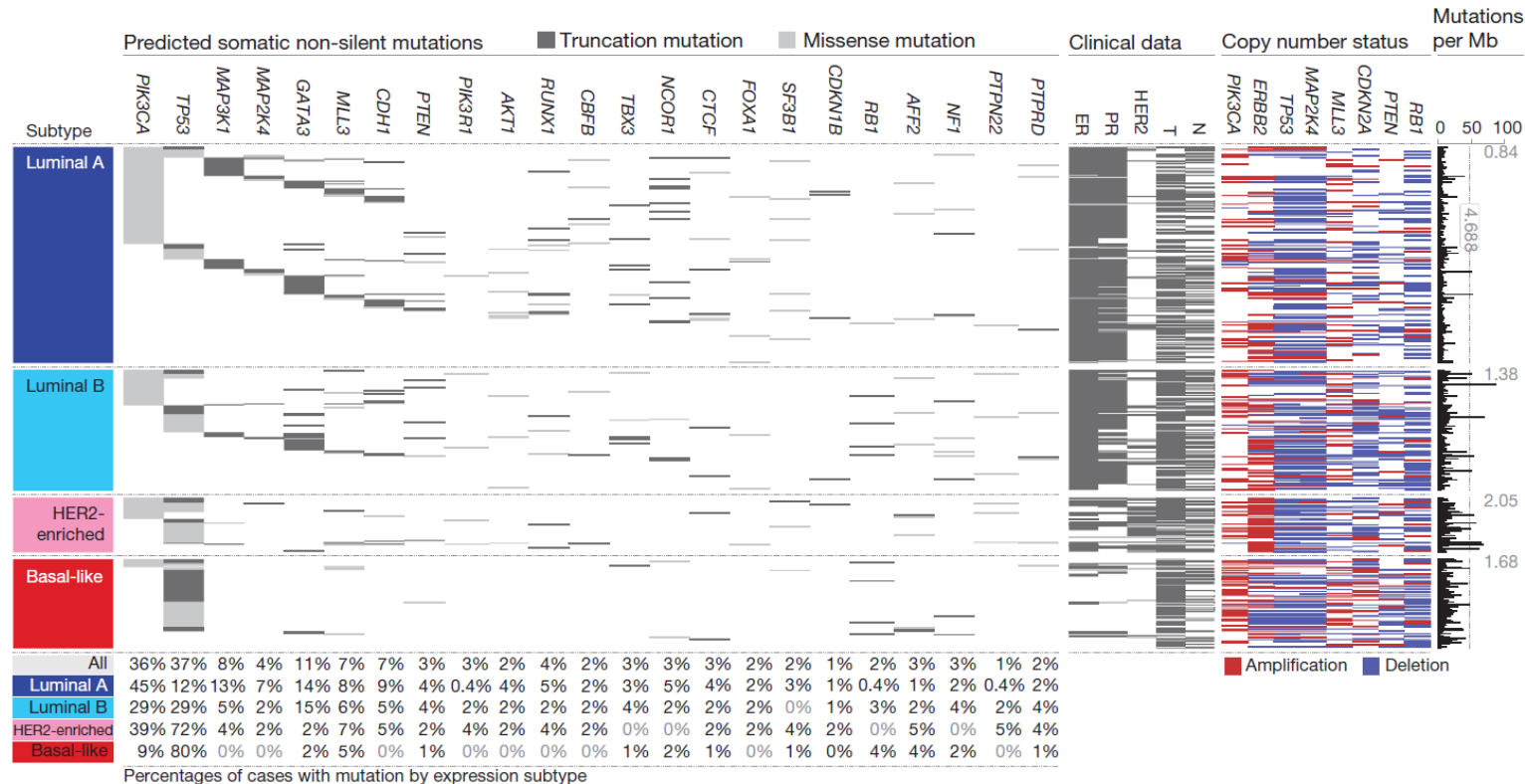
250  
200  
150  
100  
50  
0

CEA (μg/L)



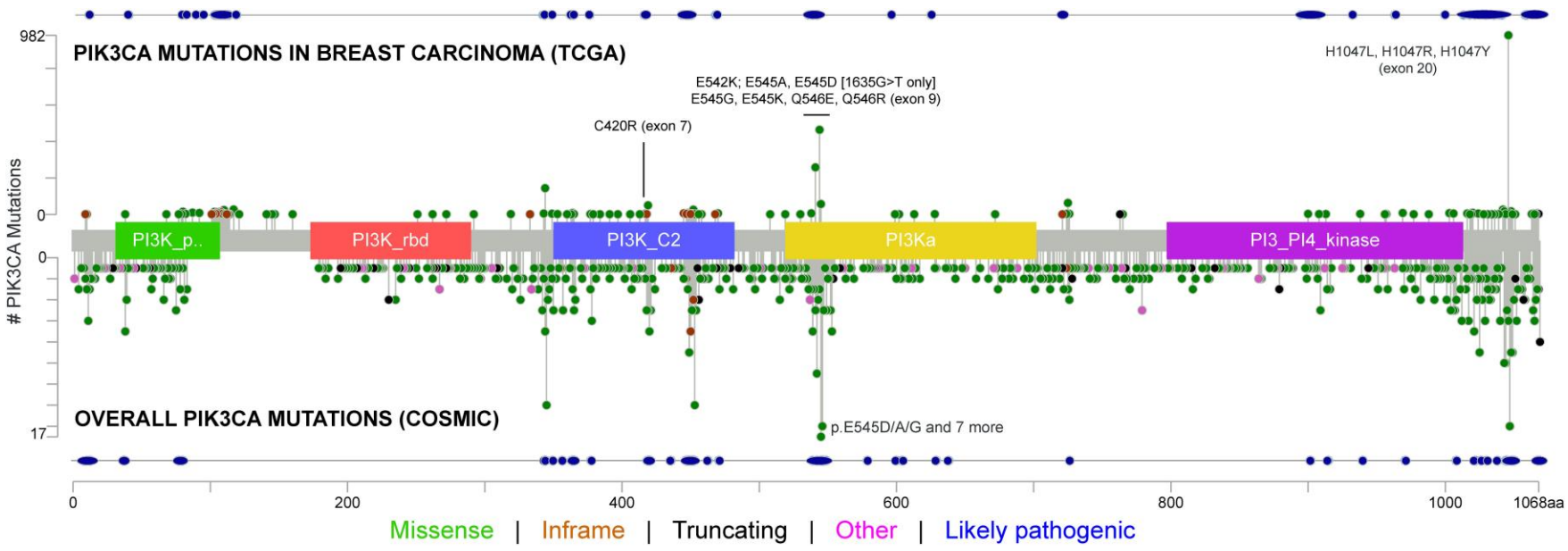
# Las mutaciones en *PIK3CA* son las más frecuentes en carcinomas de mama

DIAGNÓSTICO MOLÉCULAR



# LAS MUTACIONES DE *PIK3CA* MÁS FRECUENTES SE ENCUENTRAN EN LOS EXONES 9 Y 20

ANALISIS  
DIAGNOSTICO MOLECULAR



## Caso 8

Caracterización molecular gen *PIK3CA*

Tejido 2005 – calidad ácidos nucleicos – muy degradada

No amplificación fragmentos mayores de 200 pb

Secuenciación Sanger no valorable

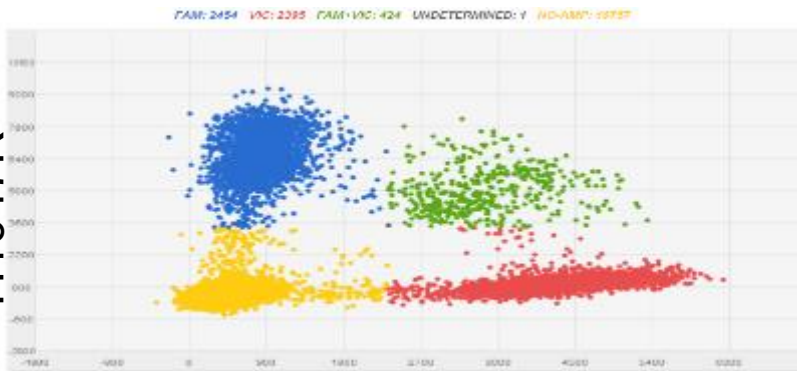
Estudio mediante PCR en tiempo real con cobas *PIK3CA*

Detección de mutación *PIK3CA* p.H1047R



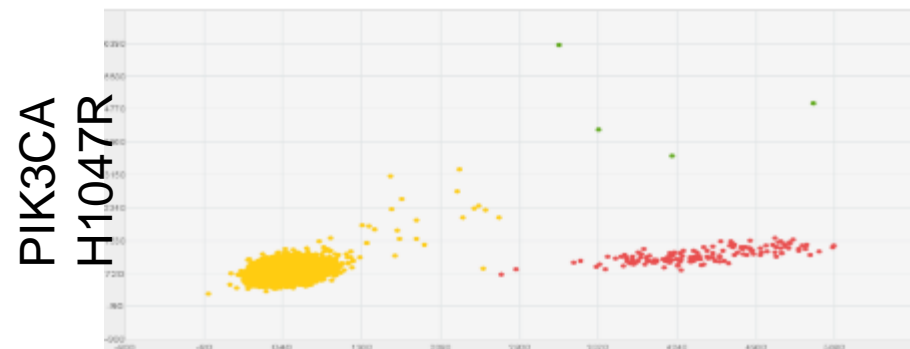
# Estudio de PIK3CA H1047R en tejido y plasma por PCR digital

Tumor



49% fracción alélica mutada

1ml of plasma



0,5 % fracción alélica mutada

Noviembre 2005, mujer 54 años, carcinoma infiltrante lobulillar en mama derecha

receptor hormonal positivo; HER2 negativo

6 ciclos de esquema TAC neoadyuvante

Se practicó mastectomía derecha con linfadenectomía ipsilateral (ypT4bN1M0) y se trató posteriormente con radioterapia adyuvante y hormonoterapia (Letrozol) durante 5 años.

Un año después (Nov' 12) presentó recidiva bioquímica con lesiones óseas sospechosas, por lo que ingresó a ensayo clínico con Examestan y Everolimus (CRAD 001YIC04).

De 2015 a 2016 elevación progresiva de marcadores bioquímicos (CEA/Ca15.3) sin progresión radiológica,

*Mutación PIK3CA (c.3140A>G, His1047Arg) detectable en plasma*  
*Inicio Fulvestrant en Abril 2016.*

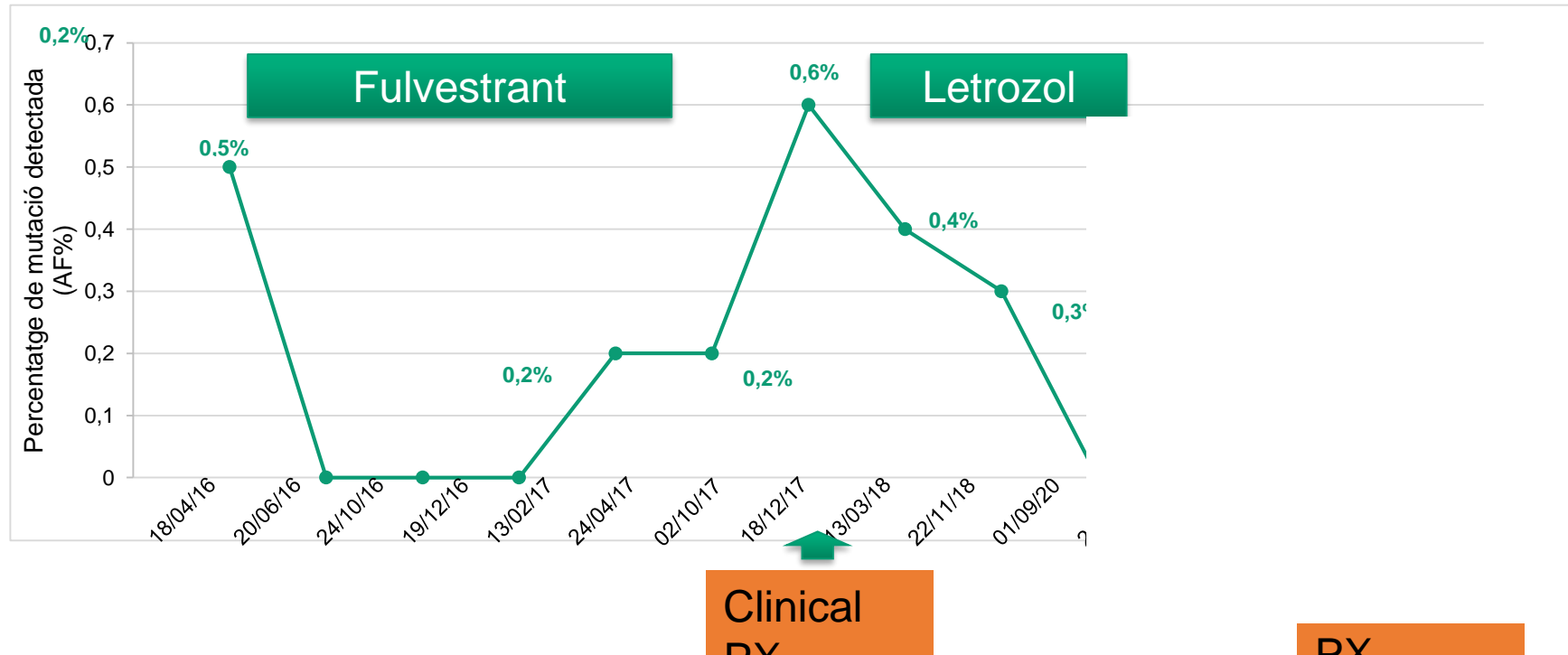
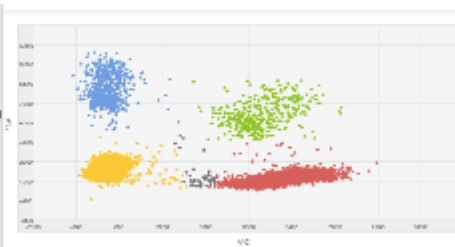
En ese momento, no había otra técnica que la biopsia líquida para detectar este tipo de recurrencia, por lo que nunca se habría detectado de otra manera.

## Breast cancer



IAVANTE

## DIAGNÓSTICO MOLECULAR



# Historia oncológica

DIAGNÓSTICO MOLÉCULAR

Lesión mamaria y adenopatía sospechosa  
BAG: **carcino<sup>m</sup>a lobulillar infiltrante**  
PAAF: negativo para células malignas  
**cT3cN0M0**

**Mastectomía y linfadenectomía**  
post quimioterapia neoadyuvante  
**ypT4bN1M0**

QT

R

Letrozol

2005 2006

2012

2015 2016

2018

2020

Exemestano-everolimus

Fulvestrant

Letrozol

Progresión **bioquímica**  
Lesiones **óseas** radiológicas

Progresión **bioquímica y**  
**radiológica (ósea, adenopática)**

**Fractura ósea**

2500  
2000  
1500  
1000  
500  
0

Ca15.3  
(UI/mL)

**PIK3CA**  
**H1047R**

detección de mutaciones sobre tumor primario (2006)

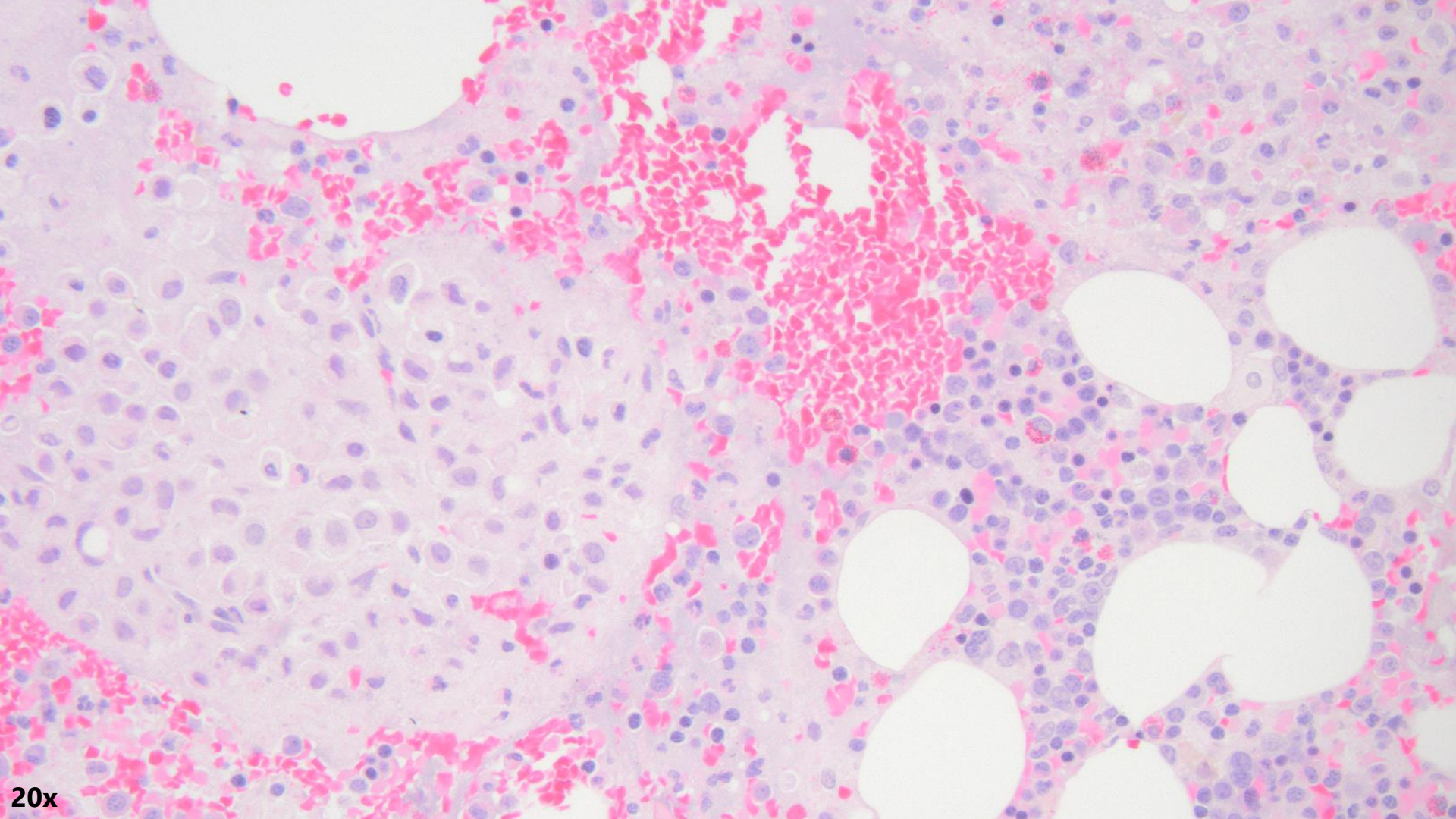
COBAS PIK3CA Mutation Test

Seguimiento ctDNA

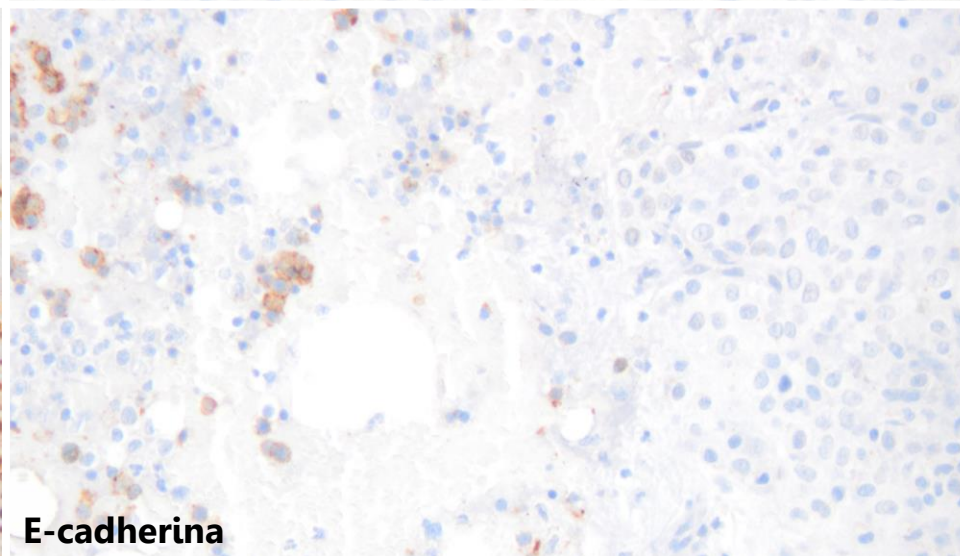
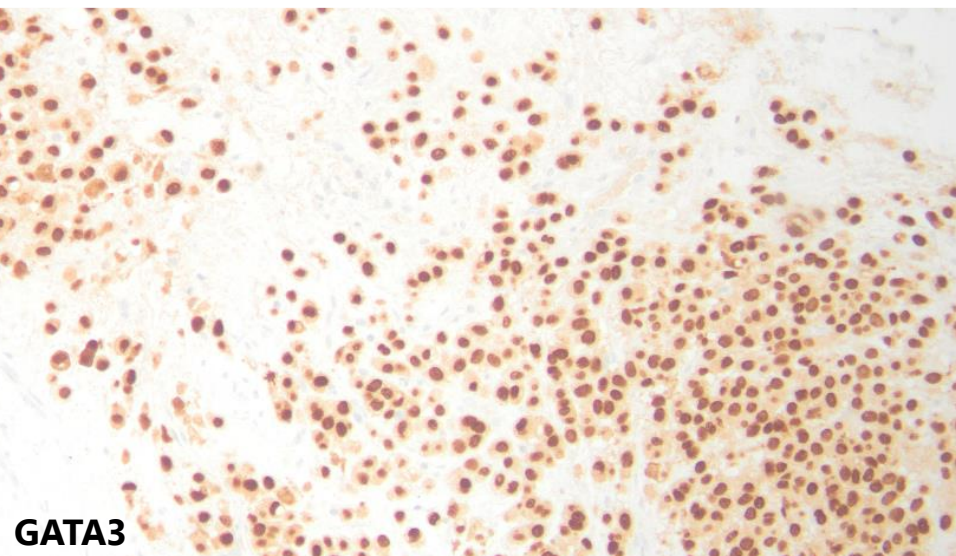
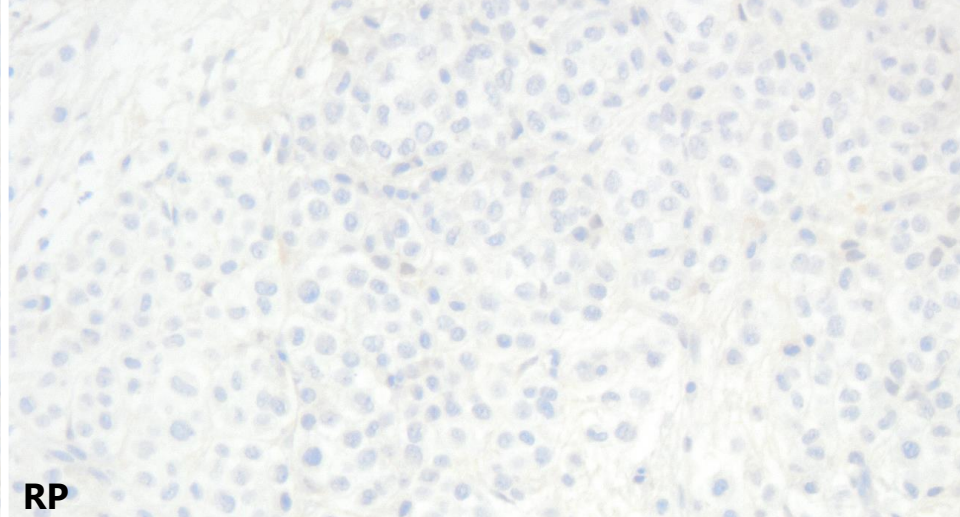
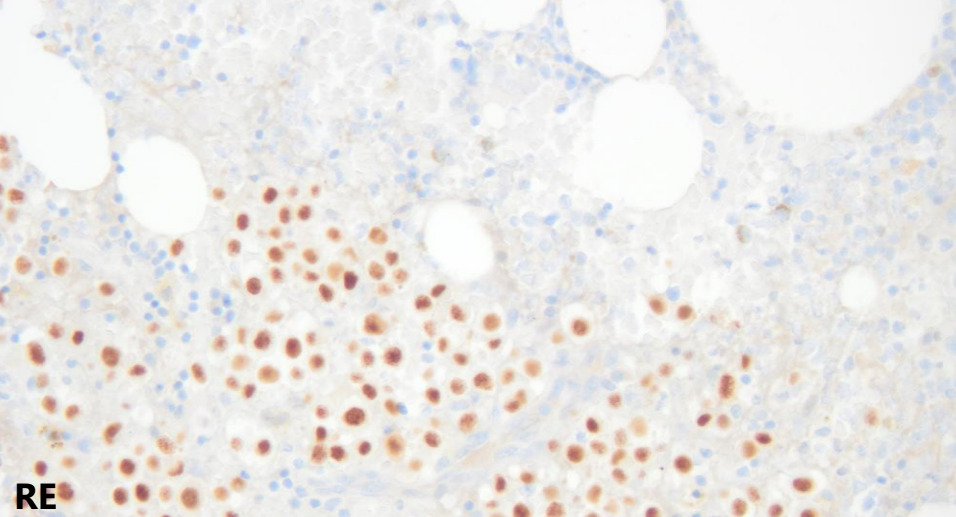
>>

CEA  
( $\mu$ g/L)

250  
200  
150  
100  
50  
0

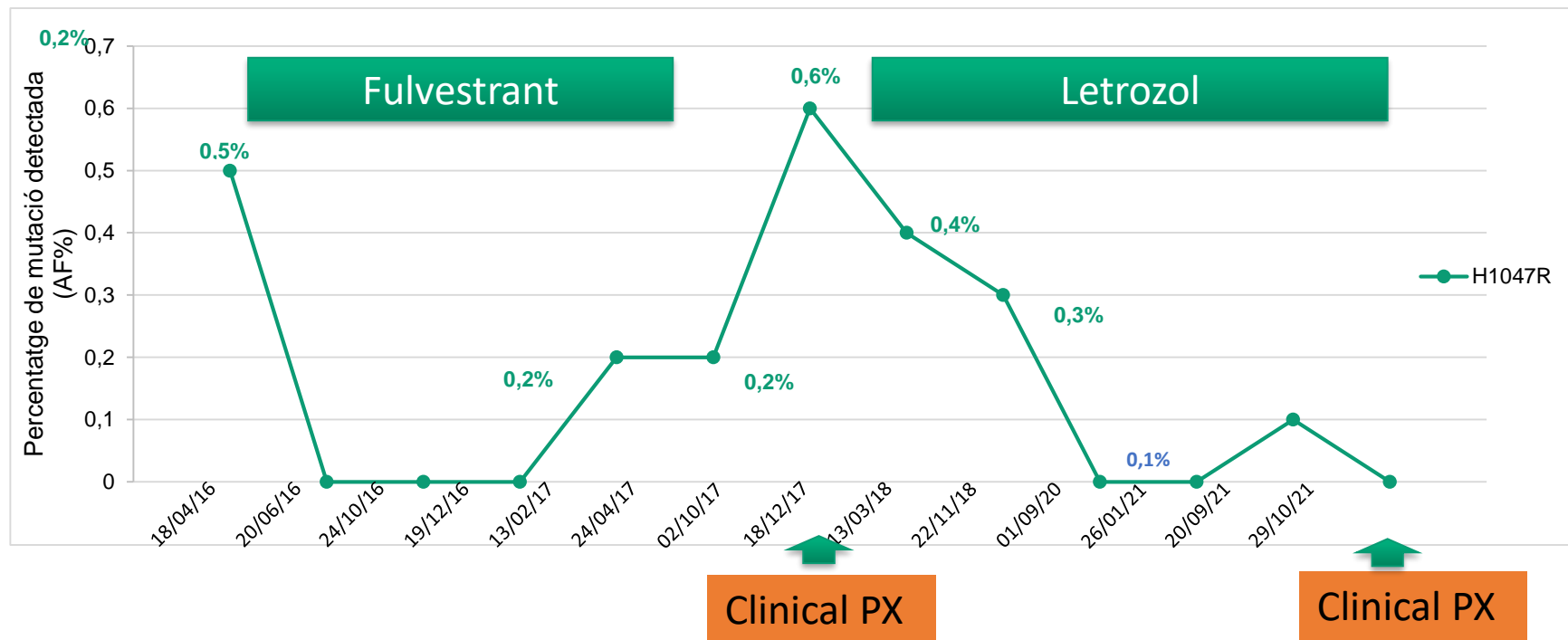
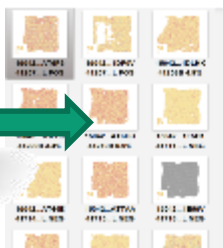


20x



IAVANTE

## DIAGNÓSTICO MOLECULAR



# Historia oncológica

DIAGNÓSTICO MOLÉCULAR

Lesión mamaria y adenopatía sospechosa  
BAG: **carcinoma lobulillar infiltrante**  
PAAF: negativo para células malignas

**cT3cN0M0**

**Mastectomía y linfadenectomía**  
post quimioterapia neoadyuvante  
**ypT4bypN1M0**

QT

R

Letrozol

2005 2006

Progresión **bioquímica**  
Lesiones **óseas** radiológicas

Progresión **bioquímica y radiológica (ósea, adenopática)**

**Fractura ósea**  
**Letálides**

Exemestano-everolimus

Fulvestrant

Letrozol

2012

2015 2016

2018

2020

2021

2022

2500  
2000  
1500  
1000  
500  
0

Ca15.3 (UI/mL)

**PIK3CA**  
**H1047R**

detección de mutaciones sobre tumor primario (2006)

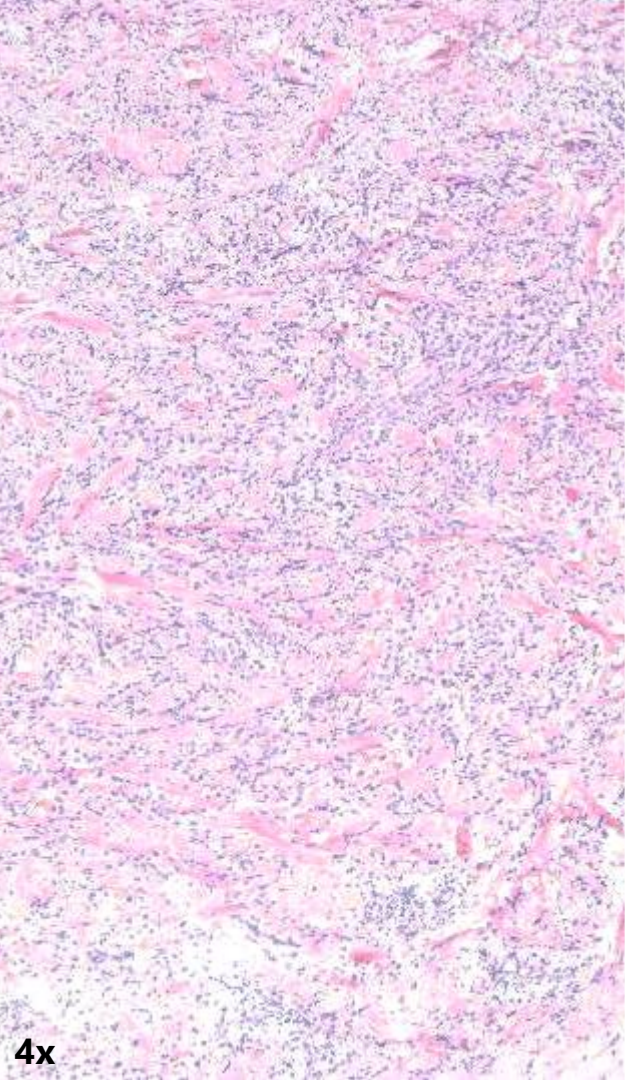
COBAS PIK3CA Mutation Test

Seguimiento ctDNA

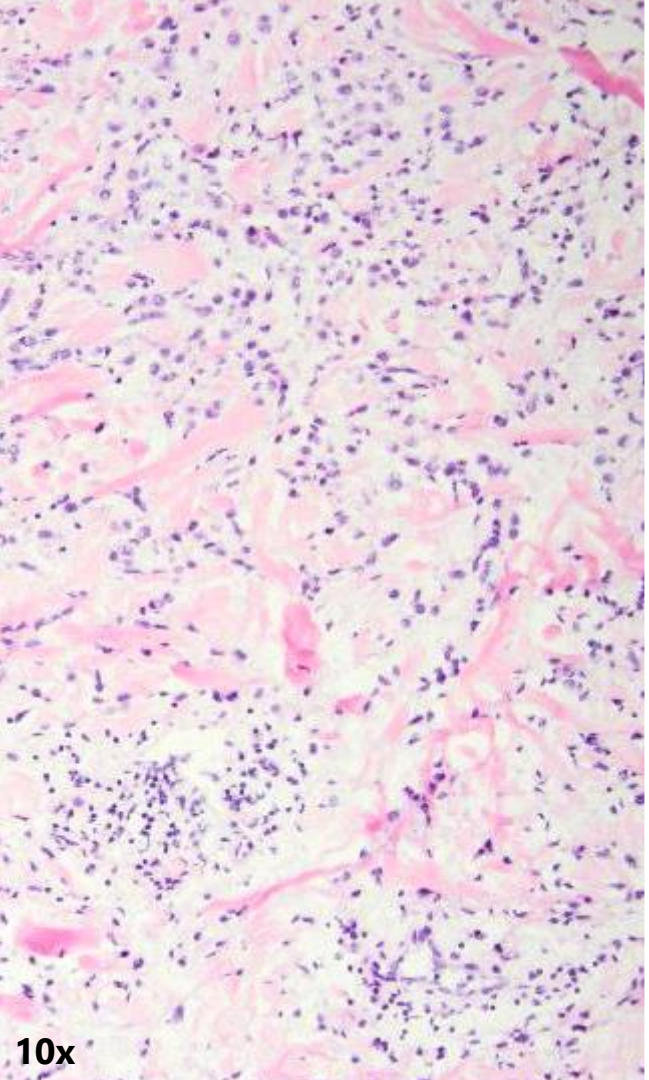
250  
200  
150  
100  
50  
0

CEA (μg/L)

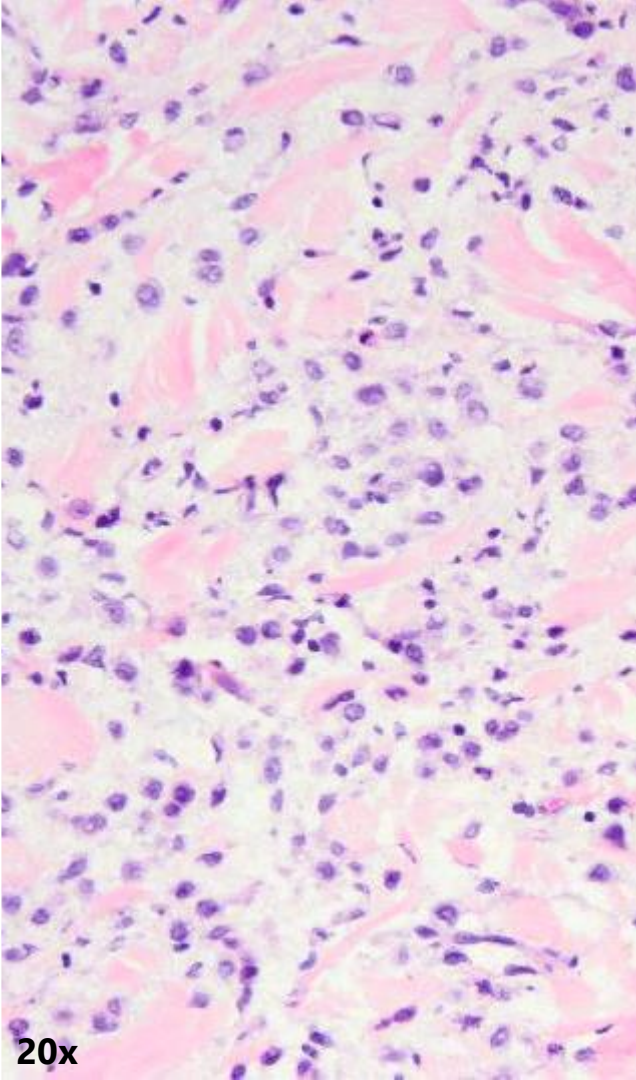
250  
200  
150  
100  
50  
0



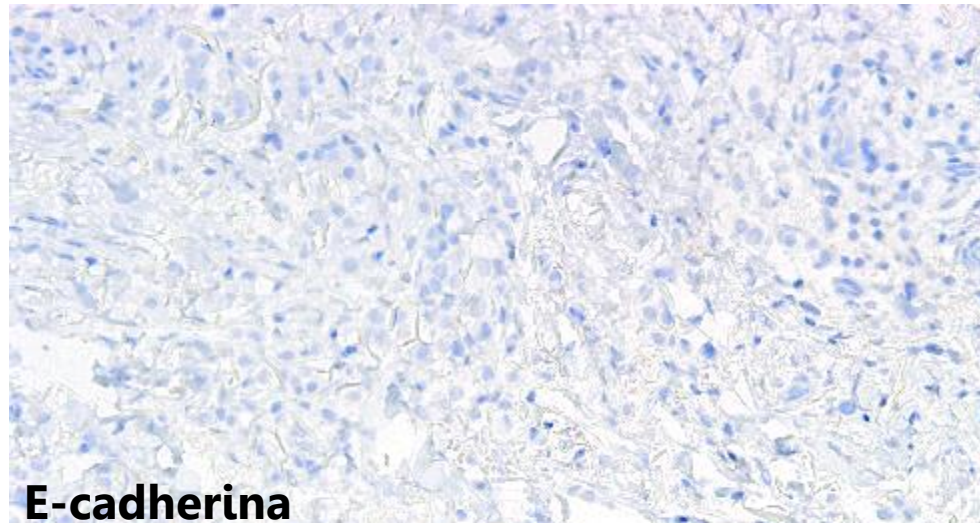
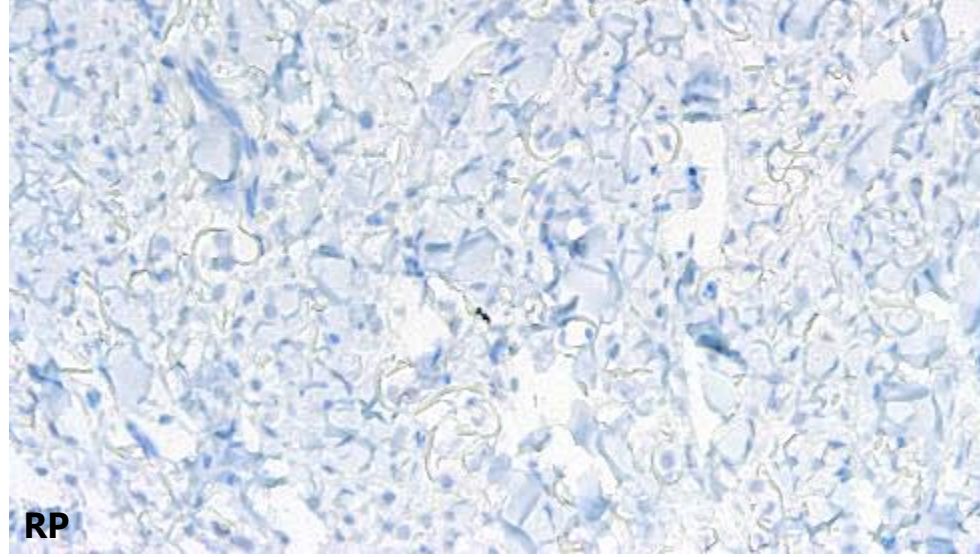
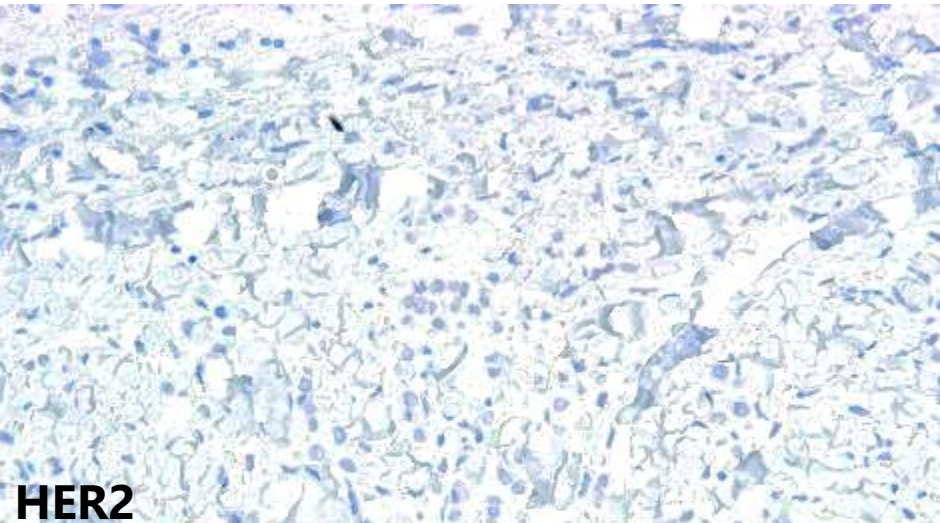
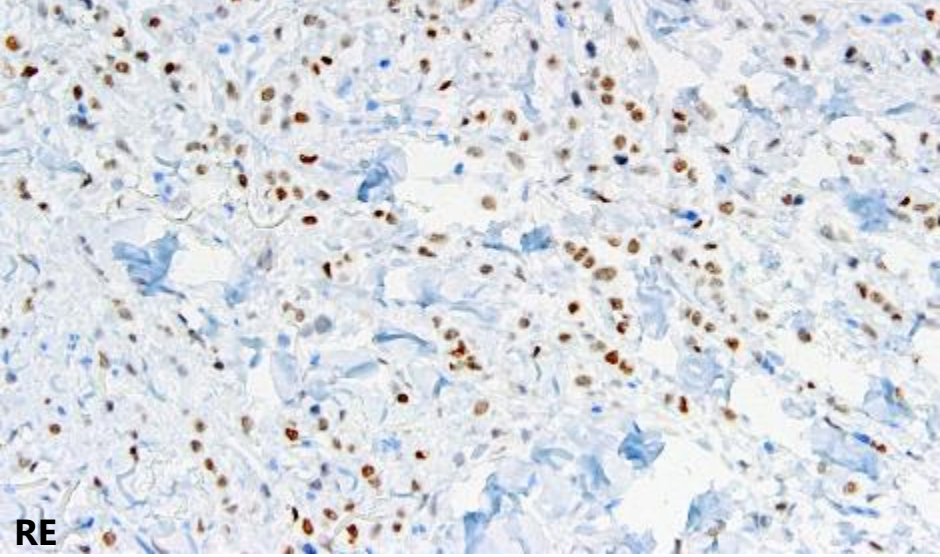
4x



10x



20x



# Historia oncológica

DIAGNÓSTICO MOLÉCULAR

Lesión mamaria y adenopatía sospechosa  
BAG: **carcino<sup>m</sup>a lobulillar infiltrante**  
PAAF: negativo para células malignas  
**cT3cN0M0**

**Mastectomía y linfadenectomía**  
post quimioterapia neoadyuvante  
**ypT4bN1M0**

QT

R

Letrozol

2005 2006

Progresión **bioquímica**  
Lesiones **óseas** radiológicas

Progresión **bioquímica y**  
**radiológica (ósea, adenopática)**

Fractura ósea

**Letálides**

Exemestano-everolimus

Fulvestrant

Letrozol

2012

2015 2016

2018

2020

2021

2022

2500  
Ca15.3  
(UI/mL)

Seguimiento ctDNA

250  
CEA  
( $\mu$ g/L)

**PIK3CA**  
**H1047R**

detección de mutaciones sobre tumor primario (2006)  
*COBAS PIK3CA Mutation Test*



# Progresión de CEA, Ca15.3 y mutaciones en *PIK3CA* en sangre periférica

DIAGNÓSTICO MOLÉCULAR

## Progresión bioquímica y radiológica (ósea, adenopática)

## Fractura ósea

## Letálides

Fulvestrant

Letrozol

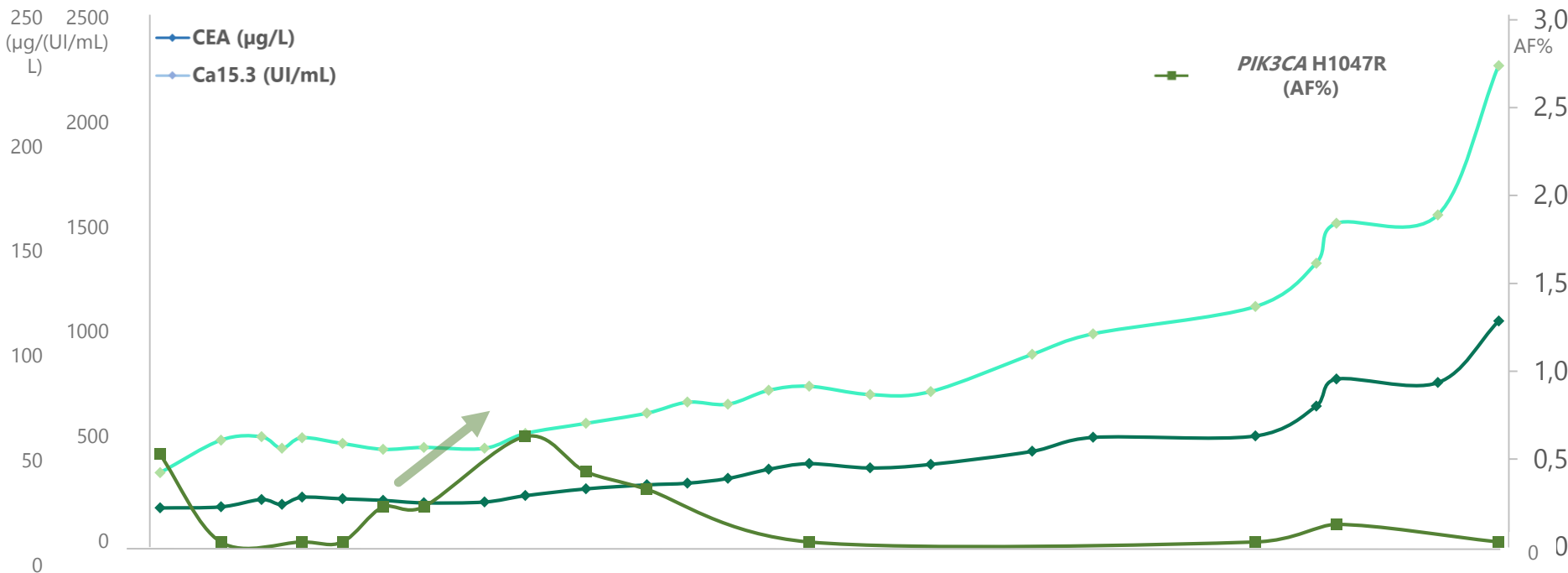
2016

2018

2020

2021

2022



# Nuevas determinaciones moleculares

DIAGNÓSTICO MOLÉCULAR

## Oncomine Breast cfDNA Assay en sangre periférica durante recaída cutánea

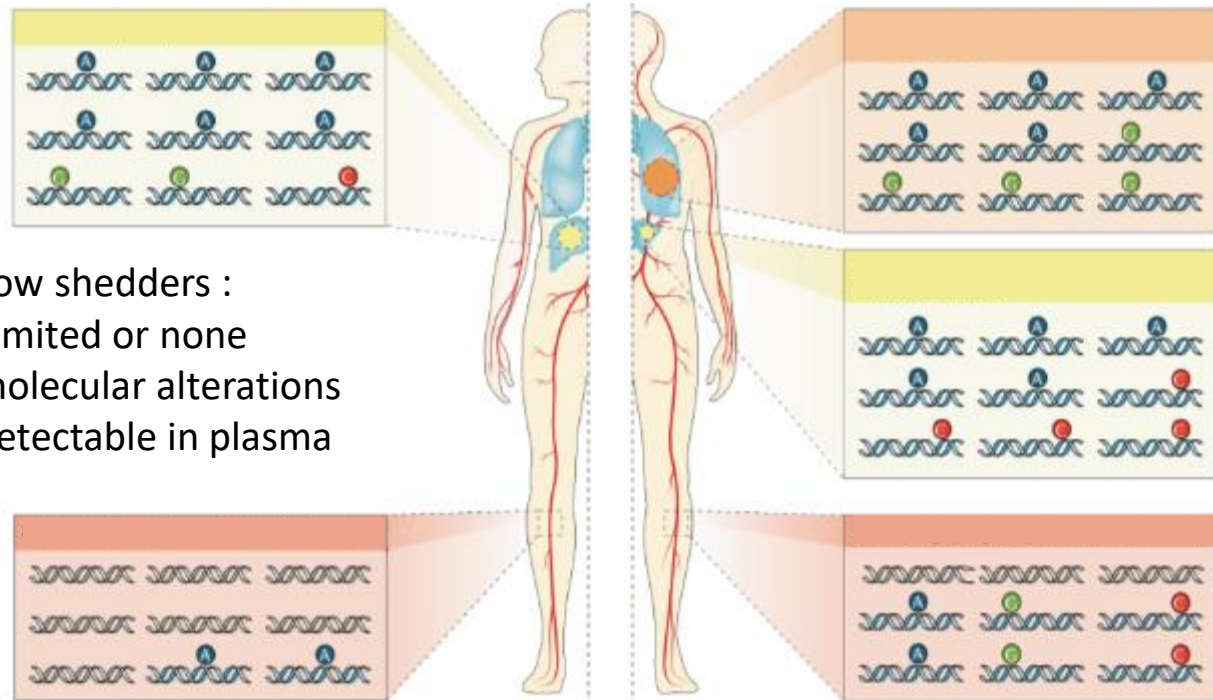
<i>PIK3CA</i>	c.1633G>A; p.(Glu545Lys)	2,39%
<i>TP53</i>	c.839G>C; p.(Arg280Thr)	1,93%
<i>TP53</i>	c.853G>A; p.(Glu285Lys)	1,85%
<i>PIK3CA</i>	c.1624G>A; p.(Glu542Lys)	0,91%
<i>PIK3CA</i>	c.2176G>A; p.(Glu726Lys)	0,78%
<i>TP53</i>	c.524G>A; p.(Arg175His)	0,74%

## Oncomine Solid Tumor DNA Kit sobre letálides

<i>EGFR:</i>	No mutado	<i>NOTCH1:</i>	No mutado
<i>AKT1:</i>	No mutado	<i>FGFR3:</i>	No mutado
<i>ALK:</i>	No mutado	<i>CTNNB1:</i>	No mutado
<i>PTEN:</i>	No mutado	<i>MET:</i>	No mutado
<b><i>ERBB2:</i></b>	c.2326G>A; p.(Gly776Ser) 36,4%	<i>SMAD4:</i>	No mutado
<i>NRAS:</i>	No mutado	<i>DDR2:</i>	No mutado
<i>ERBB4:</i>	No mutado	<i>FBXW7:</i>	No mutado
<i>MAP2K1:</i>	No mutado	<i>KRAS:</i>	No mutado
<i>FGFR1:</i>	No mutado	<b><i>TP53:</i></b>	c.853G>A; p.(Glu285Lys) 41,8 %
<i>STK11:</i>	No mutado	<b><i>PIK3CA:</i></b>	<u>No mutado</u>
<i>FGFR2:</i>	No mutado	<i>BRAF:</i>	No mutado



Low shedders :  
Limited or none  
molecular alterations  
detectable in plasma



# Progresión de CEA, Ca15.3 y mutaciones en *PIK3CA* en sangre periférica

DIAGNÓSTICO MOLECULAR

## Progresión bioquímica y radiológica (ósea, adenopática)

## Fractura ósea

## Letálides

Fulvestrant

Letrozol

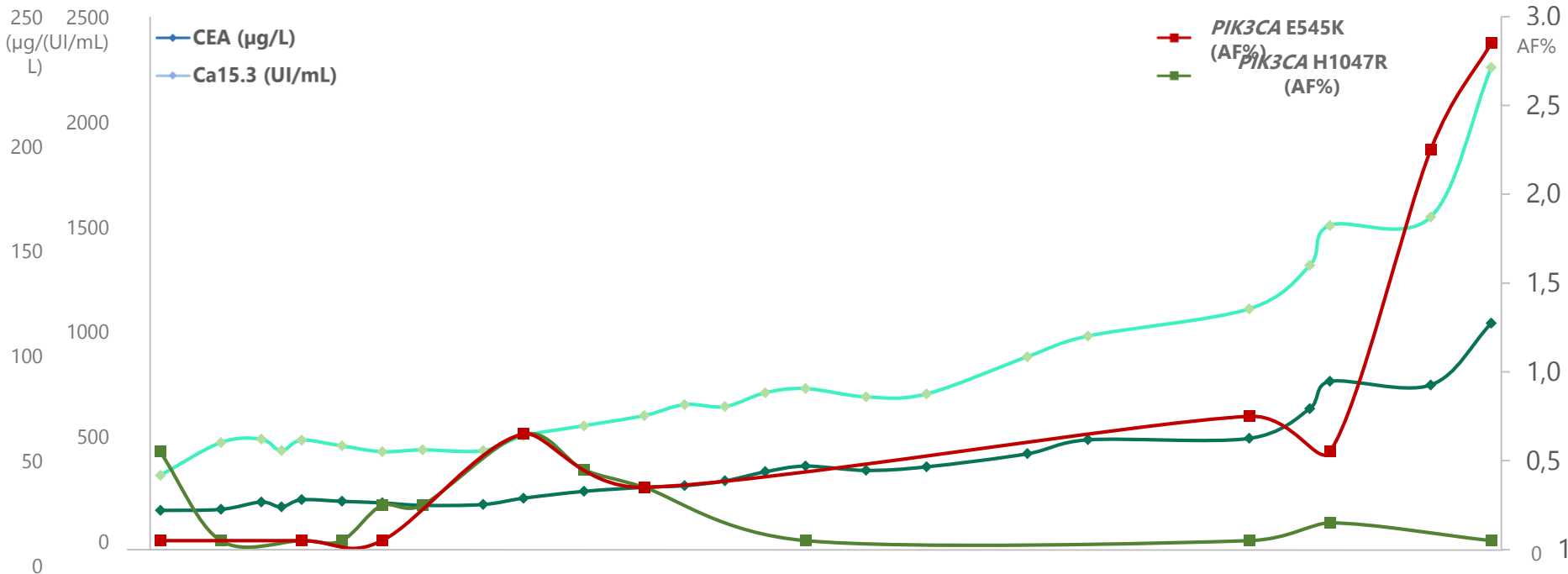
2016

2018

2020

2021

2022



The NEW ENGLAND JOURNAL of MEDICINE

ORIGINAL ARTICLE

## Alpelisib for PIK3CA-Mutated, Hormone Receptor–Positive Advanced Breast Cancer

F. André, E. Ciruelos, G. Rubovszky, M. Campone, S. Loibl, H.S. Rugo,  
H. Iwata, P. Conte, I.A. Mayer, B. Kaufman, T. Yamashita, Y.-S. Lu, K. Inoue,  
M. Takahashi, Z. Pápai, A.-S. Longin, D. Mills, C. Wilke, S. Hirawat,  
and D. Juric, for the SOLAR-1 Study Group\*

Diciembre 21: Capecitabina – Vinorelbina ( por angina de Prinzmetal asociada a capecitabina)

Marzo 22: Progresión de letálides. Inicia eribulina – (PS - fragilidad)  
Respuesta clínica parcial

Octubre 22 : exitus por progresión enfermedad

FORMACIÓN **IAVANTE** Fundación Progreso y Salud

# CENTRO DE SIMULACIÓN **CLÍNICA AVANZADA**

@IAVANTE\_FPS | #IAVANTEsimulación | [www.iavante.es](http://www.iavante.es)



Gracias por su atención  
[www.IAVANTE.es](http://www.IAVANTE.es)